

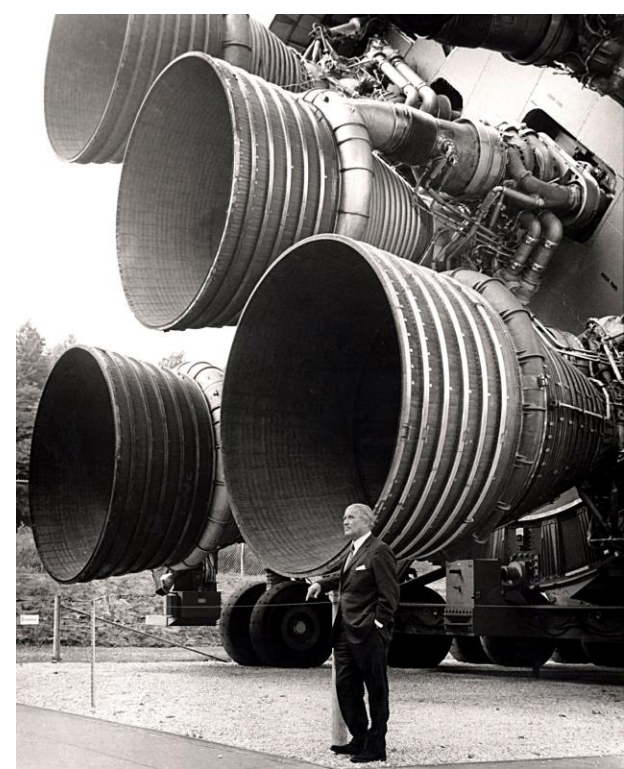
EQUAÇÕES DE BALANÇO DE ENERGIA PARA SISTEMAS ABERTOS

Paulo Seleghim Jr.
Universidade de São Paulo

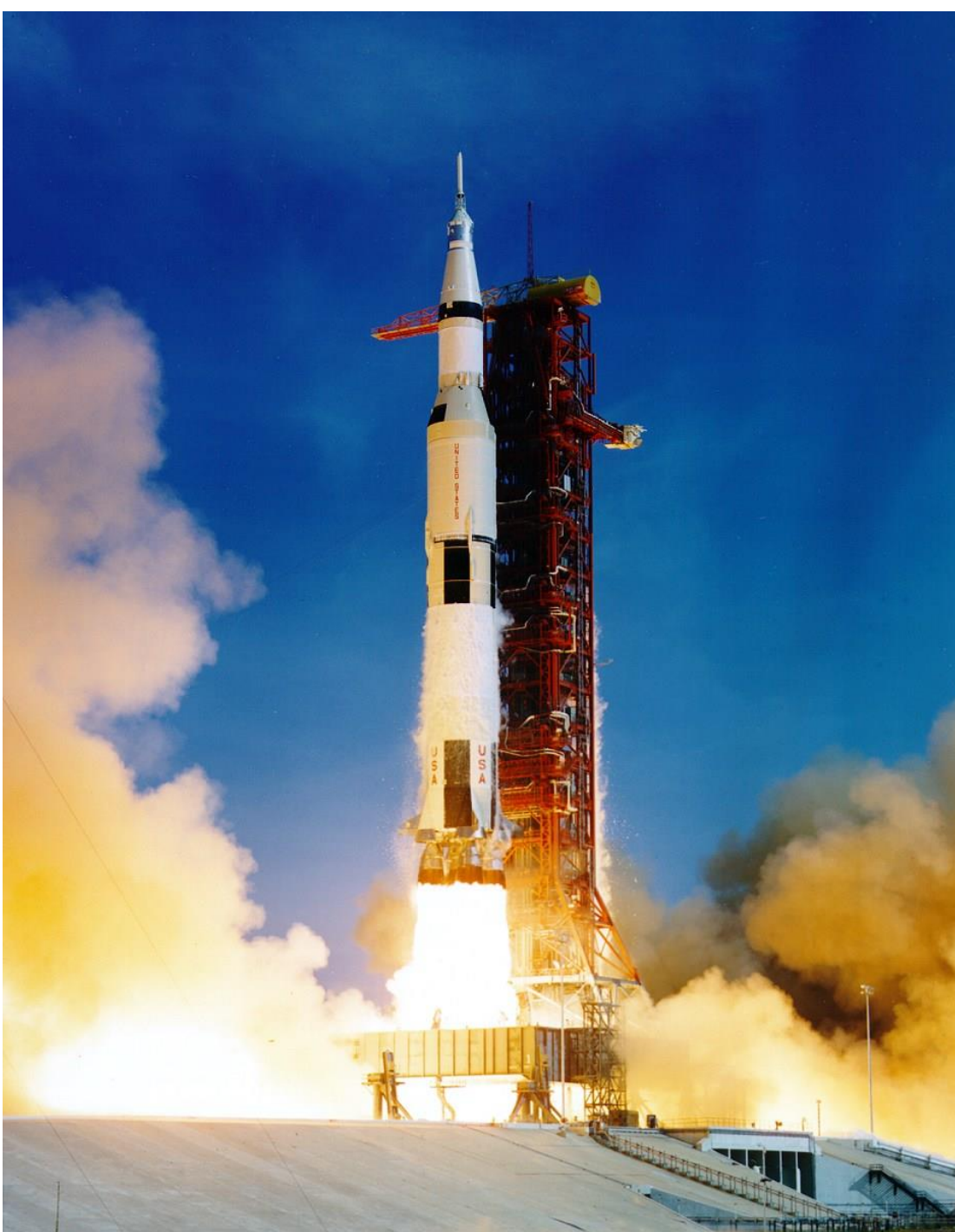


Aplicação: análise termodinâmica do Boeing 747





150 GW !!!

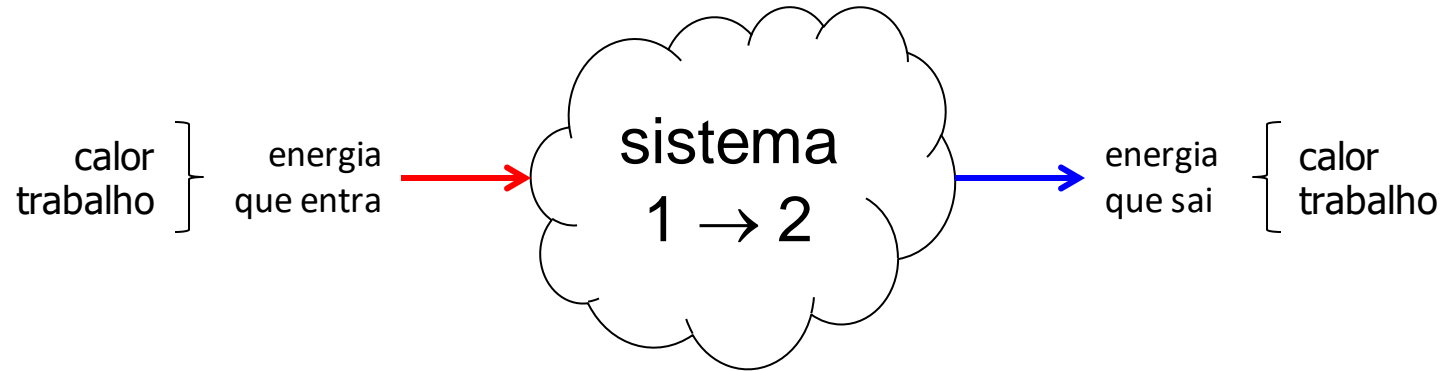


15 ton/sec !!!



Aula passada:
equações de conservação de
energia para sistemas
fechados...

Princípio da conservação da energia: sistema fechado

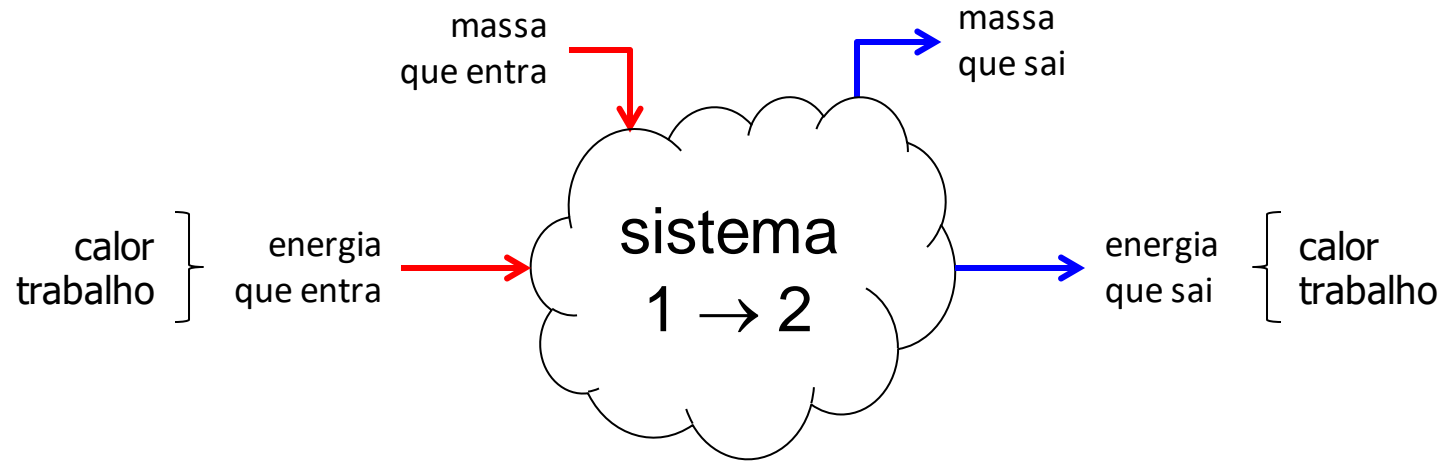


$$\Delta E = E_{\text{entra}} - E_{\text{sai}}$$

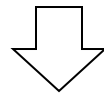
$$\Delta E = \Delta U + \Delta EC + \Delta EP$$

$$\Delta U = m \cdot (u_2 - u_1) \quad \Delta EC = \frac{m}{2} \cdot (V_2^2 - V_1^2) \quad \Delta EP = mg \cdot (z_2 - z_1)$$

Princípio da conservação da energia: sistema aberto

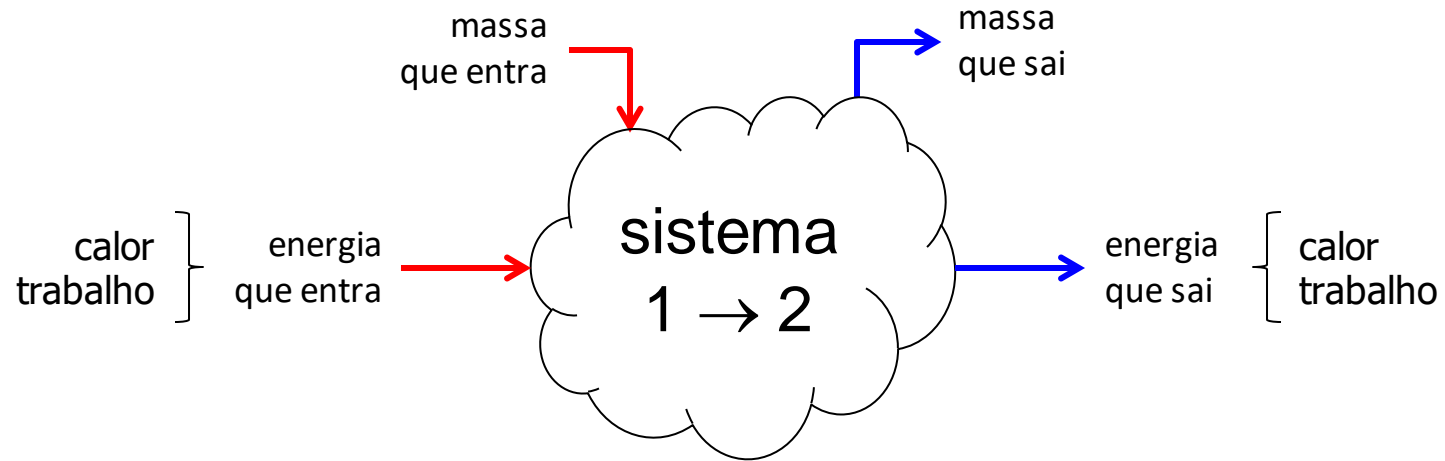


$$\Delta E = (E_{\text{entra}} - E_{\text{sai}})_{Q,W} + (E_{\text{entra}} - E_{\text{sai}})_{\text{massa}}$$

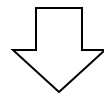


$$\frac{dE}{dt} = \left(\frac{dE_{\text{entra}}}{dt} - \frac{dE_{\text{sai}}}{dt} \right)_{Q,W} + \left(\frac{dE_{\text{entra}}}{dt} - \frac{dE_{\text{sai}}}{dt} \right)_{\text{massa}}$$

Princípio da conservação da energia: sistema aberto

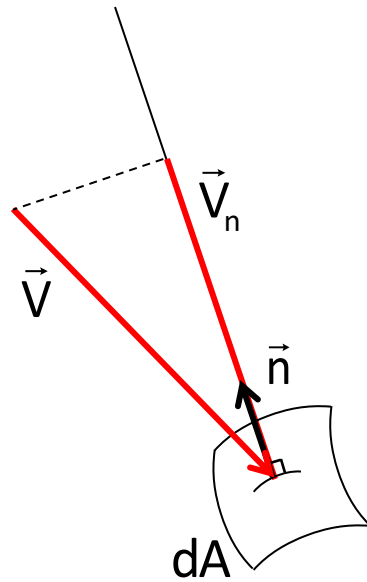
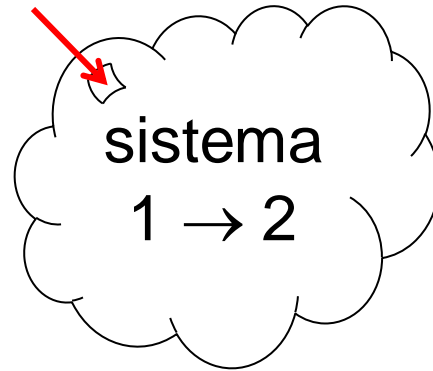


$$\Delta E = (E_{\text{entra}} - E_{\text{sai}})_{Q,W} + (E_{\text{entra}} - E_{\text{sai}})_{\text{massa}}$$



$$\frac{dE}{dt} = \left(\frac{dE_{\text{entra}}}{dt} - \frac{dE_{\text{sai}}}{dt} \right)_{Q,W} + \left(\frac{dE_{\text{entra}}}{dt} - \frac{dE_{\text{sai}}}{dt} \right)_{\text{massa}}$$

Fluxo de massa através da fronteira: entrando

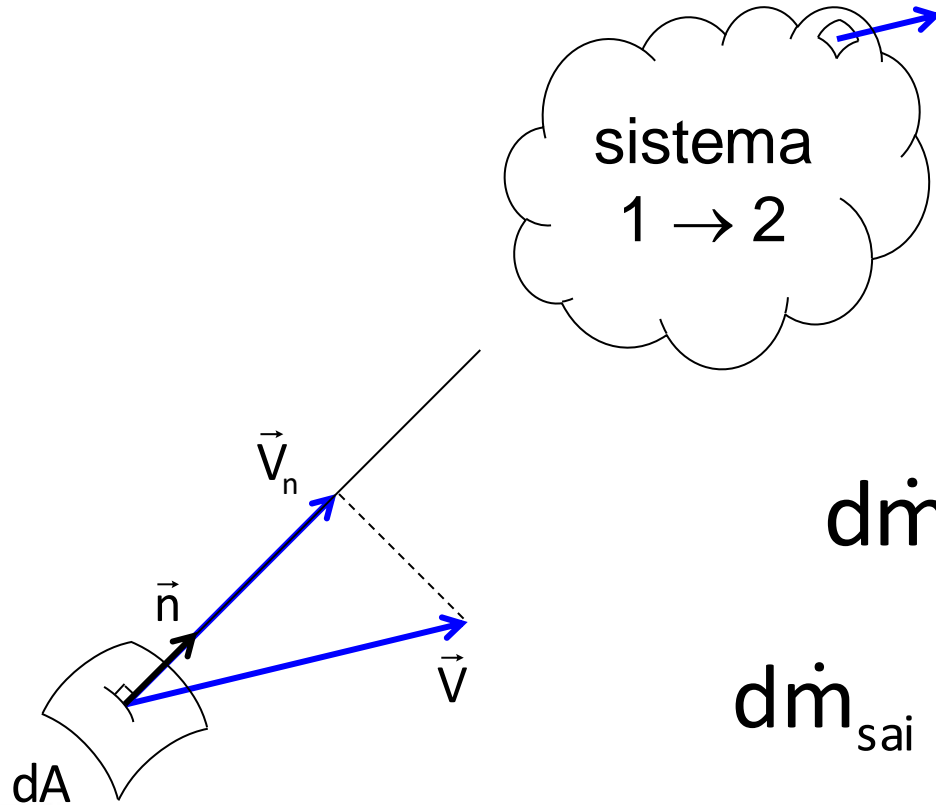


$$d\dot{m}_{\text{entra}} = \rho V_n dA$$

$$d\dot{m}_{\text{entra}} = -\rho (\vec{V} \cdot \vec{n}) dA$$

$$\dot{m}_{\text{entra}} = -\int_{A_{\text{entrada}}} \rho (\vec{V} \cdot \vec{n}) dA$$

Fluxo de massa através da fronteira: saindo

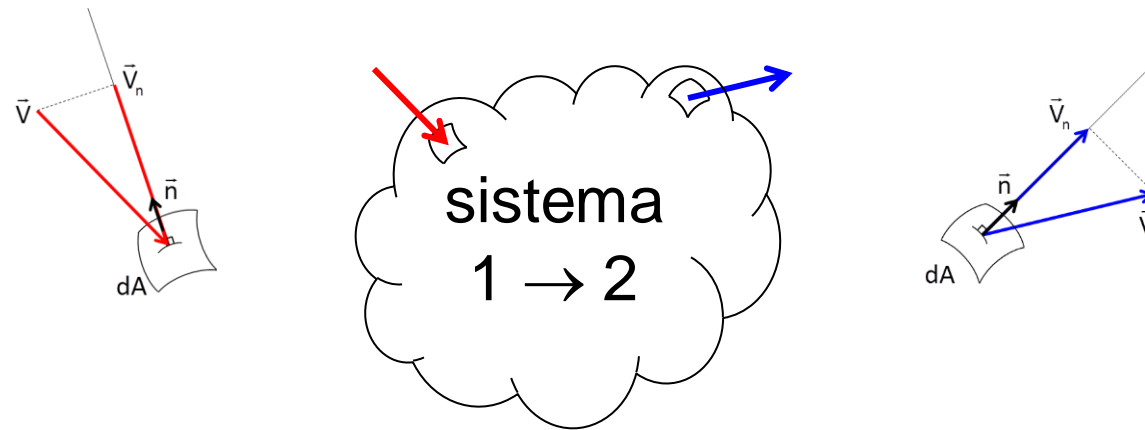


$$d\dot{m}_{\text{sai}} = \rho V_n dA$$

$$d\dot{m}_{\text{sai}} = +\rho (\vec{V} \cdot \vec{n}) dA$$

$$\dot{m}_{\text{sai}} = + \int_{A_{\text{saída}}} \rho (\vec{V} \cdot \vec{n}) dA$$

Fluxo de massa através da fronteira: total



$$\dot{m}_{\text{total}} = \int_{A_{\text{total}}} \rho (\vec{V} \cdot \vec{n}) dA$$

$$\dot{m}_{\text{total}} > 0 \rightarrow \text{saindo}$$

$$\dot{m}_{\text{total}} < 0 \rightarrow \text{entrando}$$

Equação de balanço de massa: forma generalizada

$$\left(\begin{array}{c} \text{taxa de variação} \\ \text{da massa do sistema} \end{array} \right) - \left(\begin{array}{c} \text{fluxo total de} \\ \text{massa entrando} \end{array} \right) = 0$$

$$\frac{d}{dt} M + \int_{sc} \rho (\vec{V} \cdot \vec{n}) dA = 0$$

$$\frac{d}{dt} \int_{vc} \rho dV + \int_{sc} \rho (\vec{V} \cdot \vec{n}) dA = 0$$

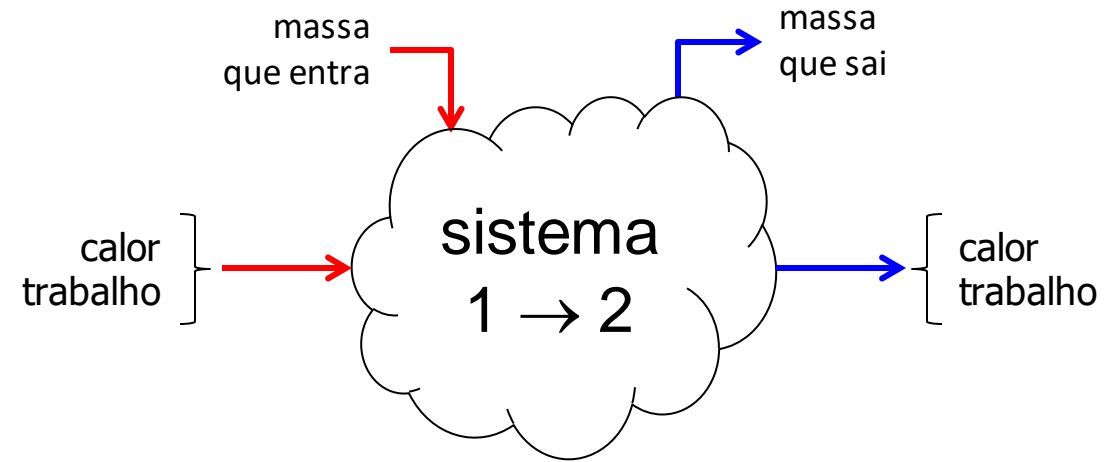
Equação de balanço de massa: forma discreta

$$\left(\begin{array}{c} \text{taxa de variação} \\ \text{da massa do sistema} \end{array} \right) - \left(\begin{array}{c} \text{fluxo total de} \\ \text{massa entrando} \end{array} \right) = 0$$

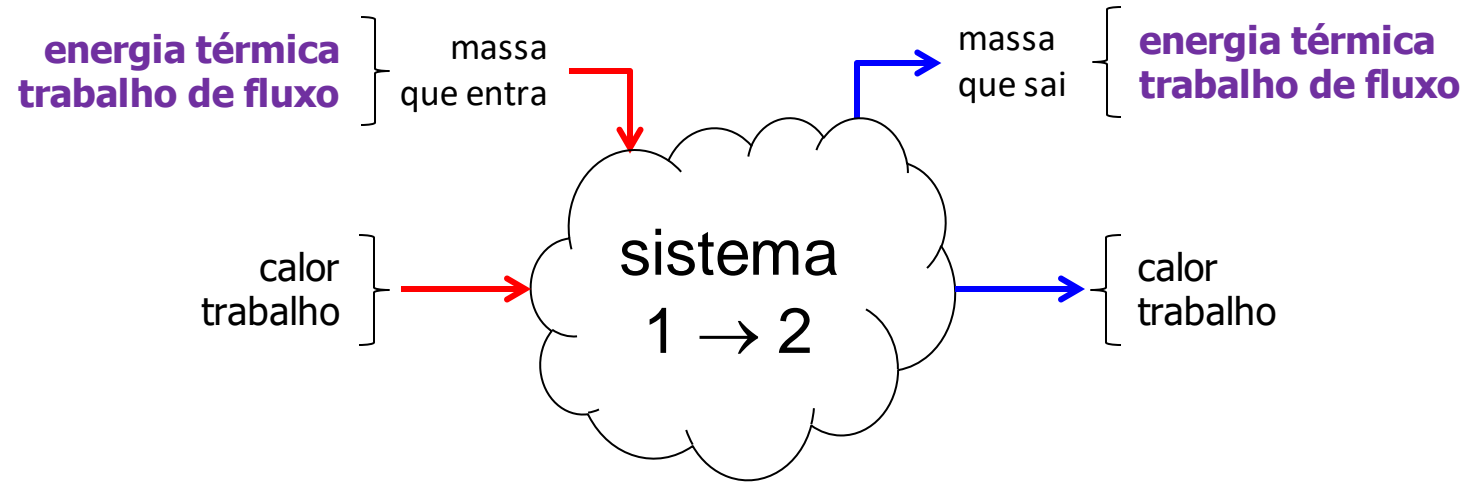
$$\frac{d}{dt}M + \left(\sum_{\text{saídas}} m_{\text{sai},k} - \sum_{\text{entradas}} m_{\text{ent},k} \right) = 0$$

$$\frac{d}{dt}M + \left(\sum_{\text{saídas}} \rho_k V_{n,k} A_k - \sum_{\text{entradas}} \rho_k V_{n,k} A_k \right) = 0$$

Princípio da conservação da energia: sistema aberto



Princípio da conservação da energia: sistema aberto



transporte de energia térmica



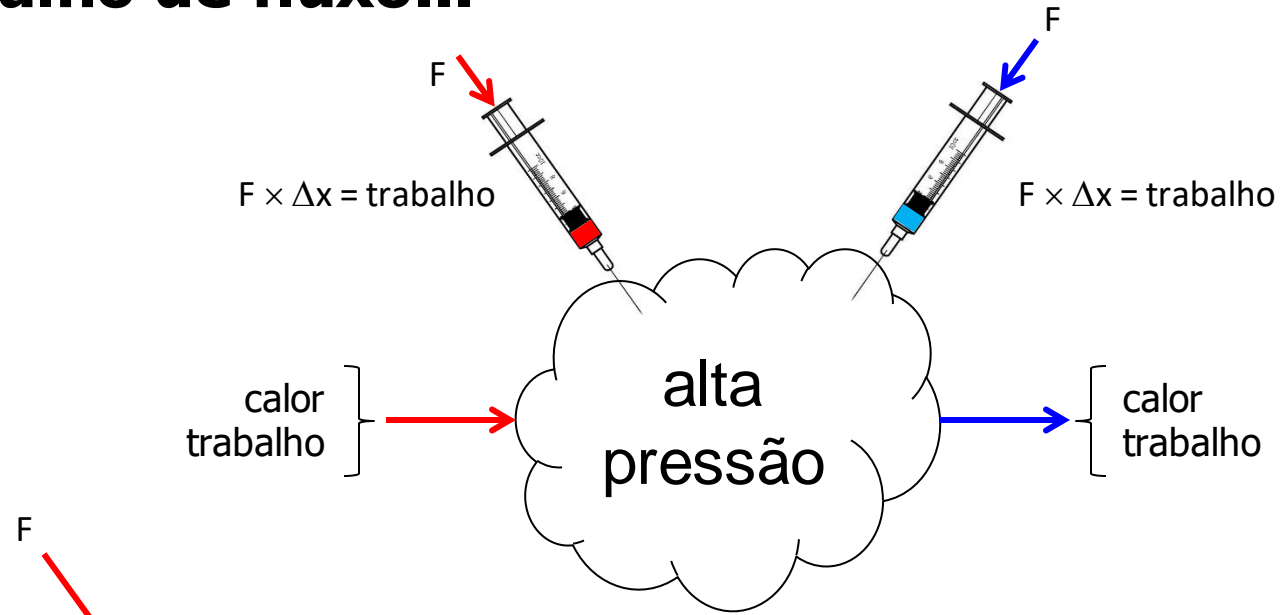
Energia térmica, ou interna ($u + e_p + e_c$), associada ao fluxo de massa entrando/saindo do VC e que deve ser contabilizado

trabalho de fluxo



Trabalho mecânico (força \times deslocamento) necessário para que um elemento de massa entre/saia do VC...

Trabalho de fluxo...

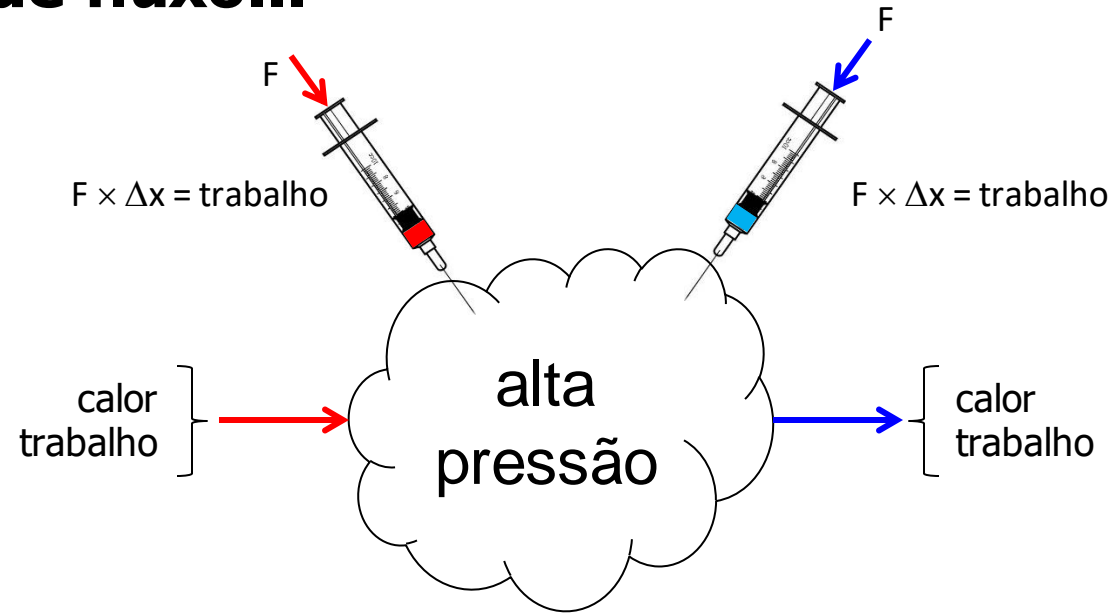


$$W_{\text{fluxo,e}} = F \times \Delta x = PA \cdot \Delta x$$

$$W_{\text{fluxo,e}} = F \times \Delta x = P \cdot (A \cdot \Delta x)$$

$$W_{\text{fluxo,e}} = P \cdot (A \cdot \Delta x) = P \cdot V$$

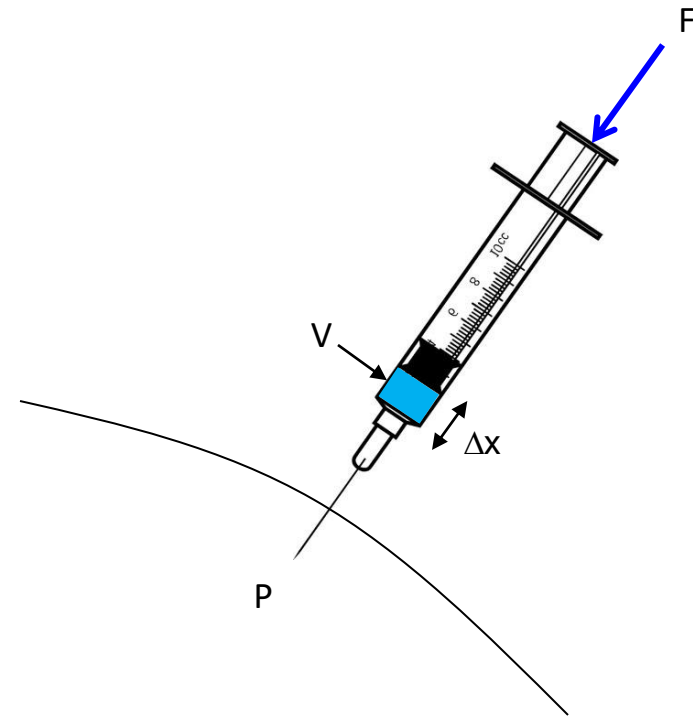
Trabalho de fluxo...



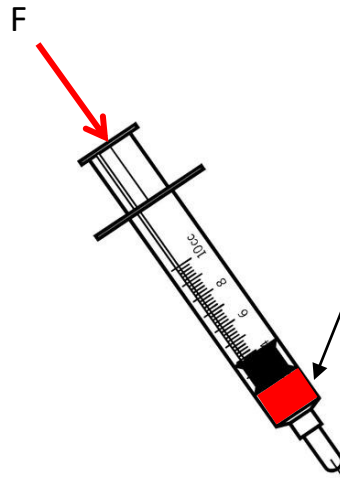
$$W_{\text{fluxo},s} = F \times \Delta x = PA \cdot \Delta x$$

$$W_{\text{fluxo},s} = F \times \Delta x = P \cdot (A \cdot \Delta x)$$

$$W_{\text{fluxo},s} = P \cdot (A \cdot \Delta x) = P \cdot V$$



Energia total de uma substância escoando: θ



$$E = m \cdot (u + gz + V^2 / 2)$$

$$E = \rho V \cdot (u + gz + V^2 / 2)$$

energia interna
+
trabalho de fluxo

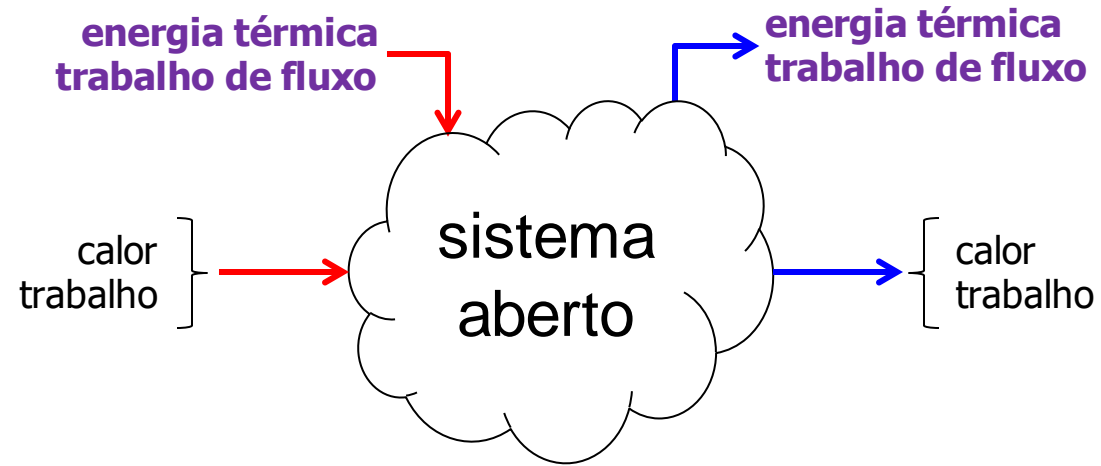
$$\theta = E + W_{\text{fluxo}}$$

$$\theta = m \cdot (u + gz + V^2 / 2) + (F \cdot \Delta x)$$

$$\theta = m \cdot (u + gz + V^2 / 2) + m \cdot (Pv)$$

$$\theta = m \cdot (h + gz + V^2 / 2)$$

Inventário de energia no VC... (regime permanente)



$$\left[\begin{array}{l} \text{energia total (líquida)} \\ \text{entrando no VC} \end{array} \right] = \left[\begin{array}{l} \text{taxa de variação da} \\ \text{energia interna do VC} \end{array} \right]$$

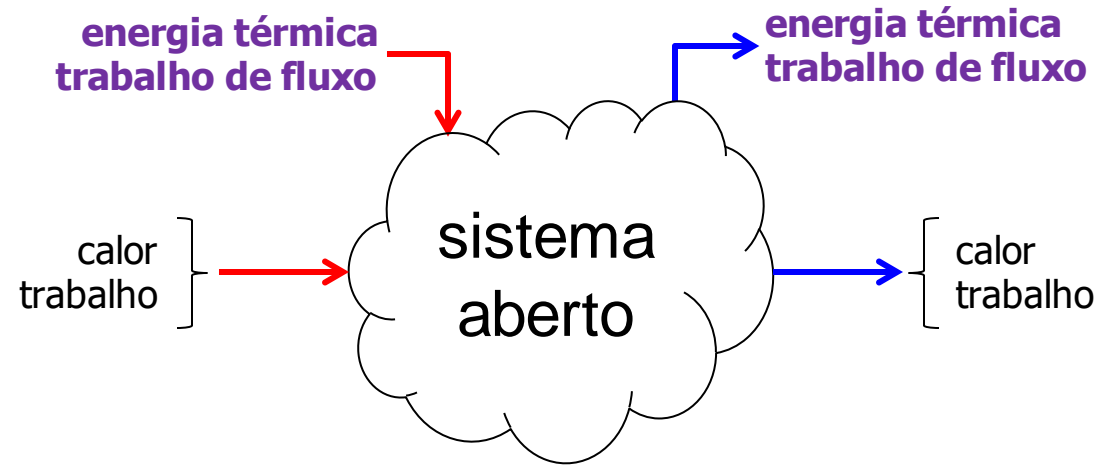


regime permanente



$$\left[\begin{array}{l} \text{energia total (líquida)} \\ \text{entrando no VC} \end{array} \right] = \left[\begin{array}{c} 0 \end{array} \right]$$

Inventário de energia no VC... (regime permanente)

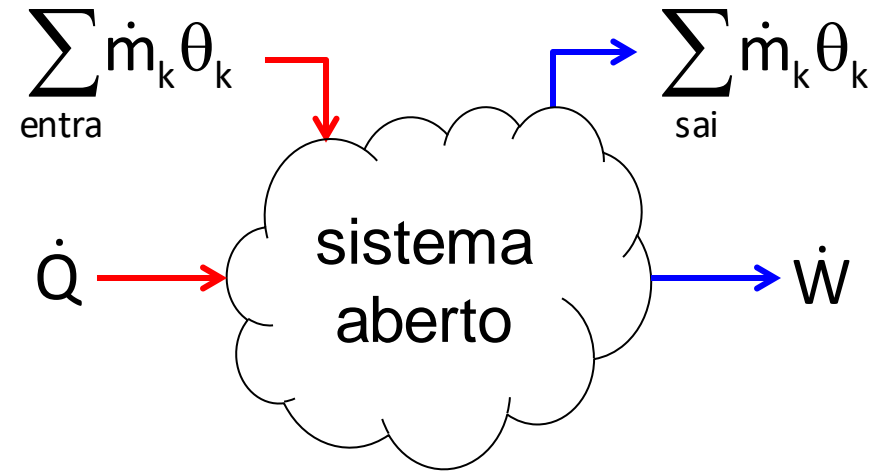


$$\dot{Q}_e + \dot{W}_e + \sum_{\text{entra}} \dot{m}_k \theta_k = \dot{Q}_s + \dot{W}_s + \sum_{\text{sai}} \dot{m}_k \theta_k$$

$$(\dot{Q}_e - \dot{Q}_s) - (\dot{W}_s - \dot{W}_e) = \sum_{\text{sai}} \dot{m}_k \theta_k - \sum_{\text{entra}} \dot{m}_k \theta_k$$

$$\dot{Q} - \dot{W} = \sum_{\text{sai}} \dot{m}_k \theta_k - \sum_{\text{entra}} \dot{m}_k \theta_k$$

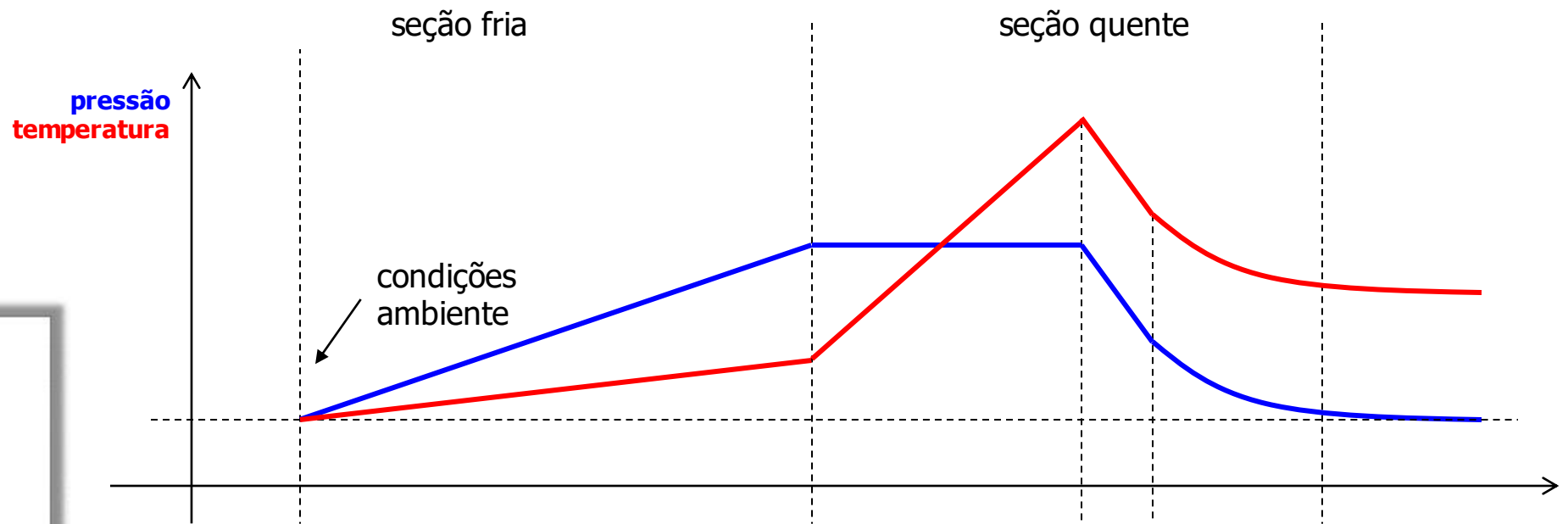
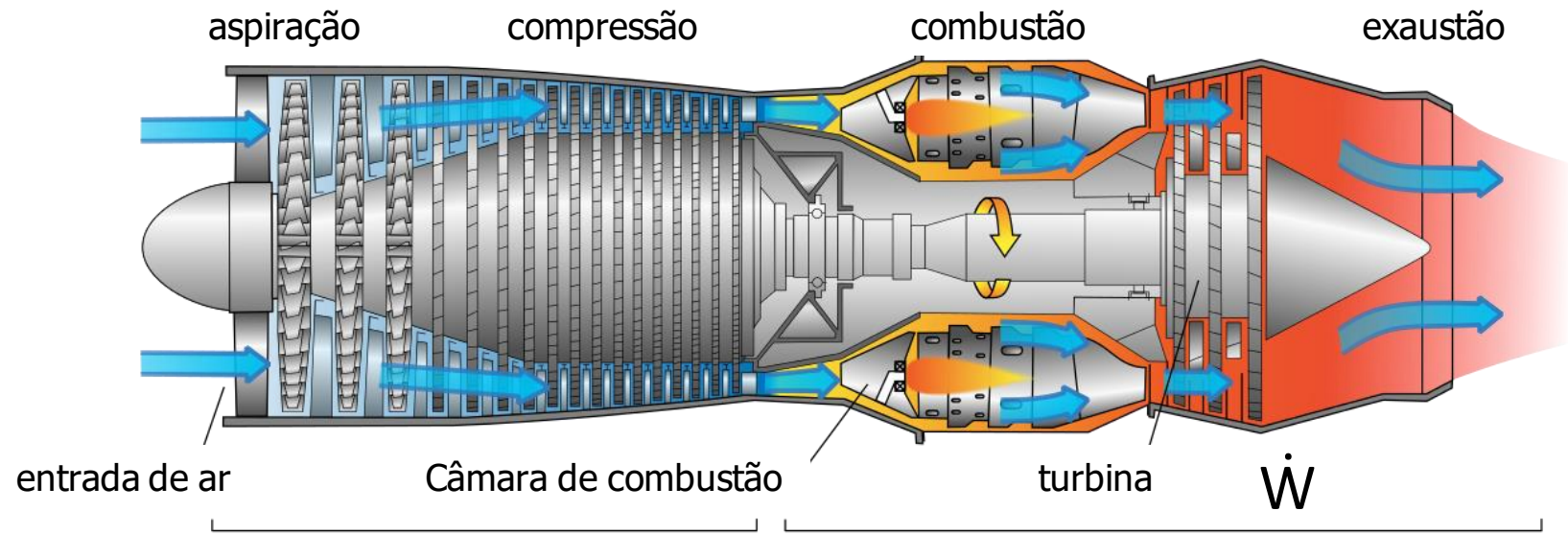
Inventário de energia no VC... (regime permanente)



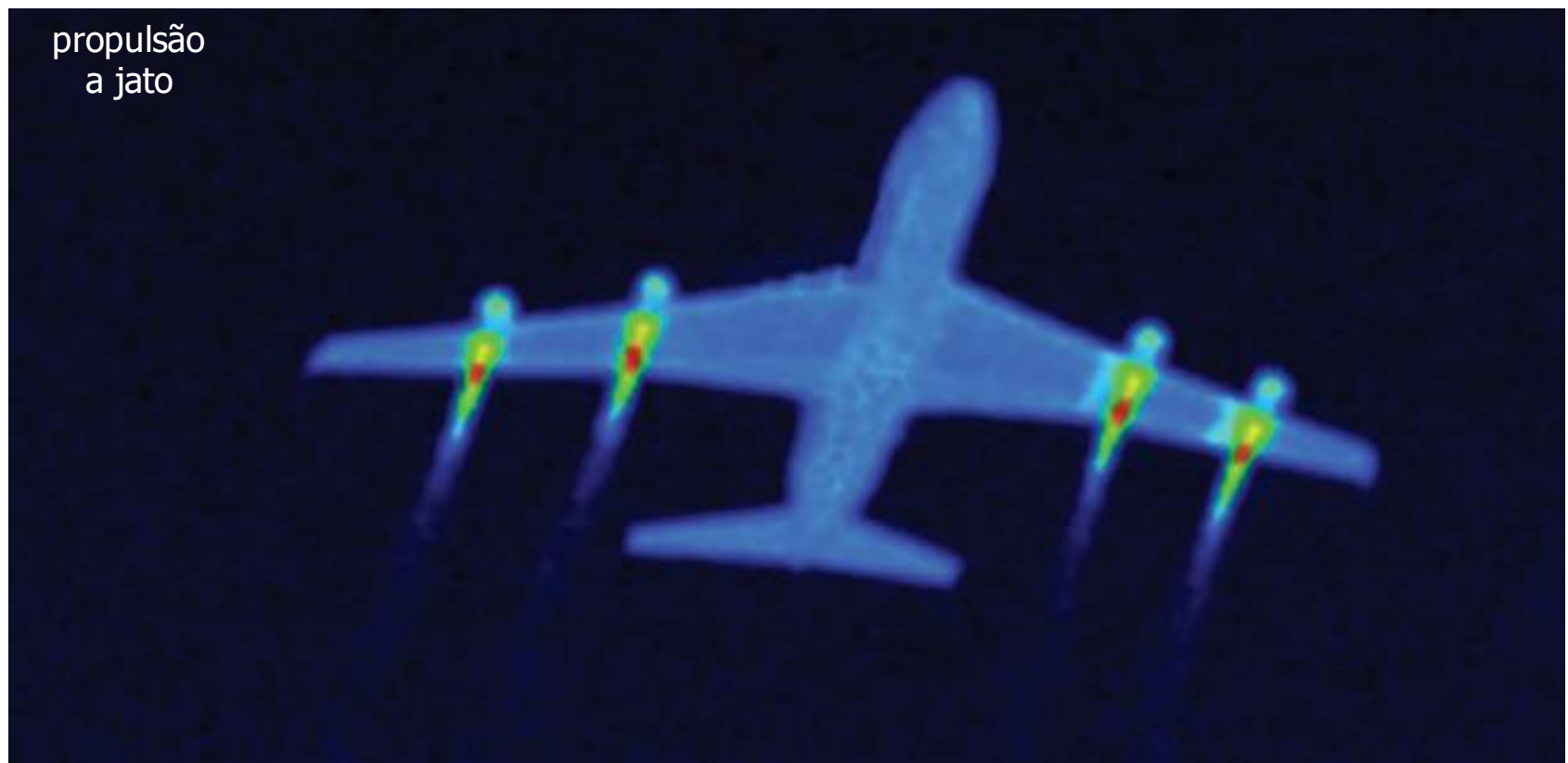
$$\dot{Q} - \dot{W} = \sum_{sai} \dot{m}_k \theta_k - \sum_{entra} \dot{m}_k \theta_k$$

$$\dot{Q} - \dot{W} = \sum_{sai} \dot{m}_k \cdot \left(h_k + gz_k + \frac{V_k^2}{2} \right) - \sum_{entra} \dot{m}_k \cdot \left(h_k + gz_k + \frac{V_k^2}{2} \right)$$

Aplicação:
motor de propulsão a jato
e turboélice



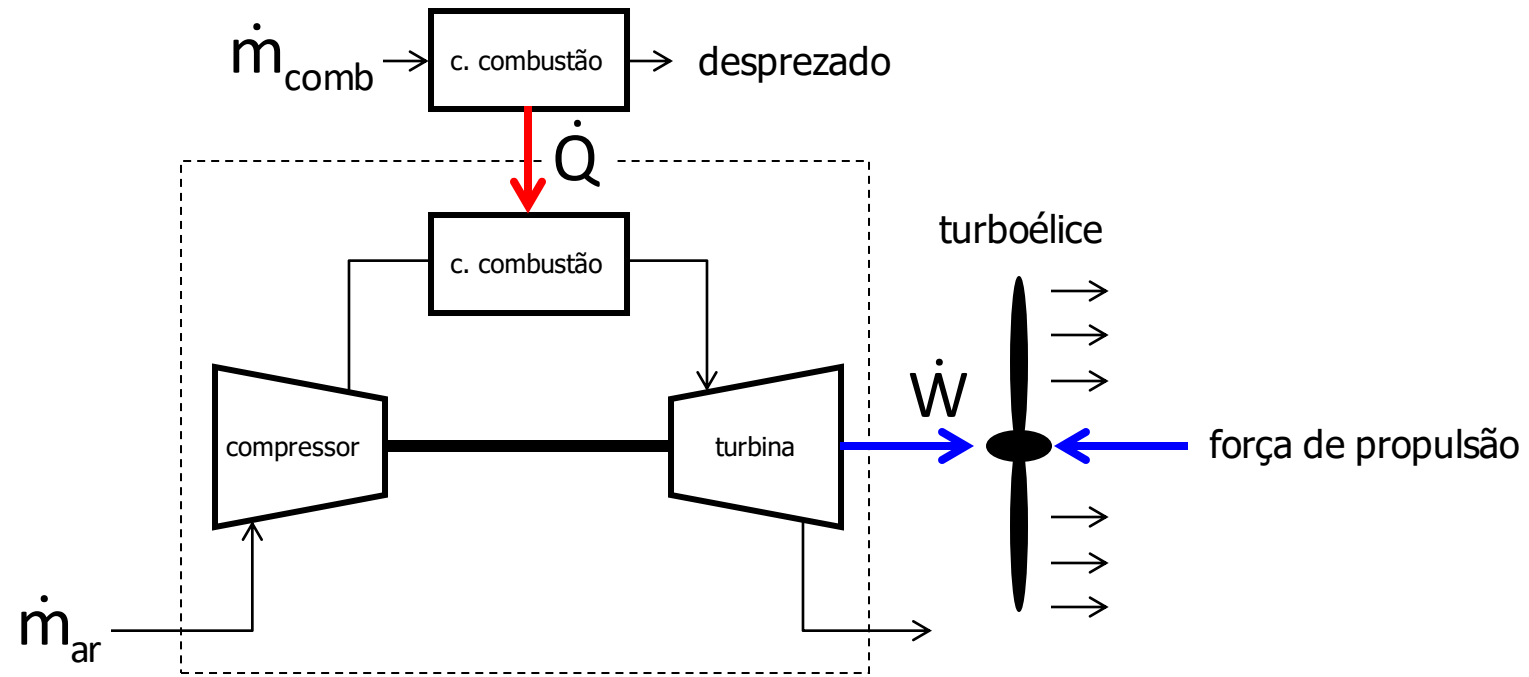
propulsão
a jato



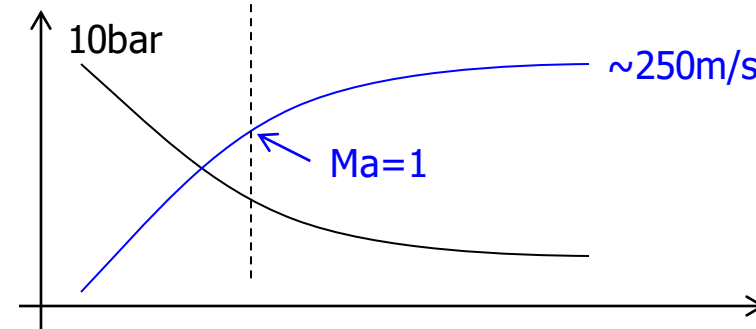
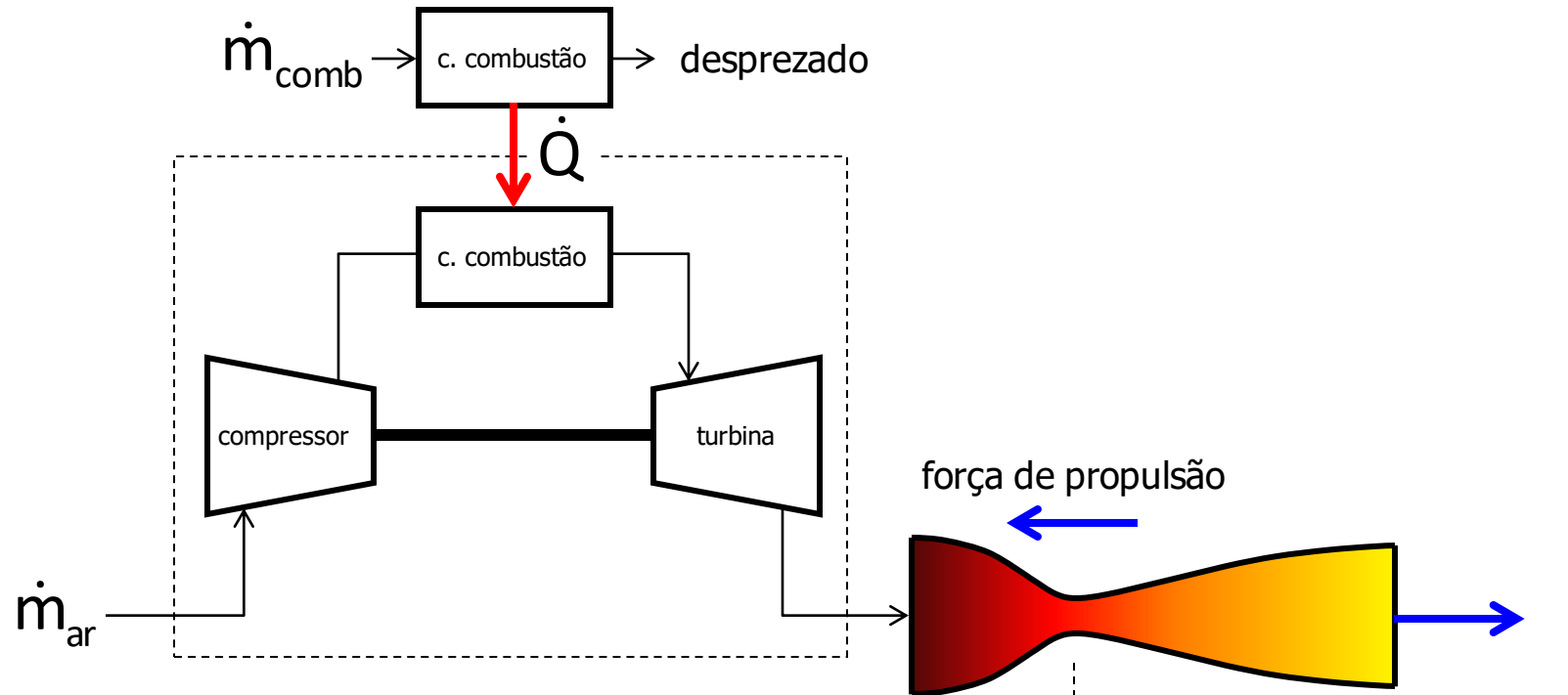
turboélice



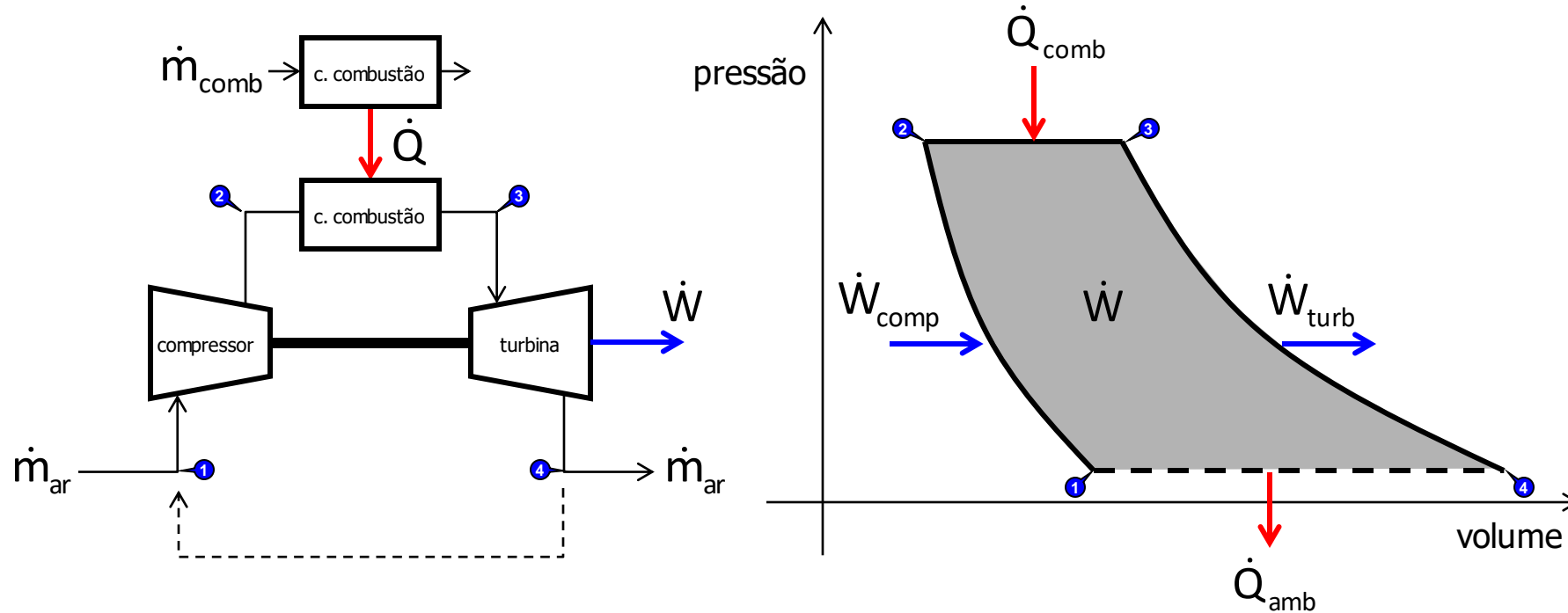
Modelo simplificado: turboélice



Modelo simplificado: motor a jato



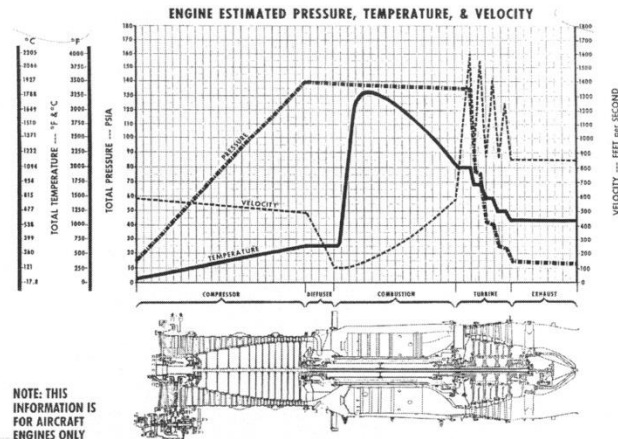
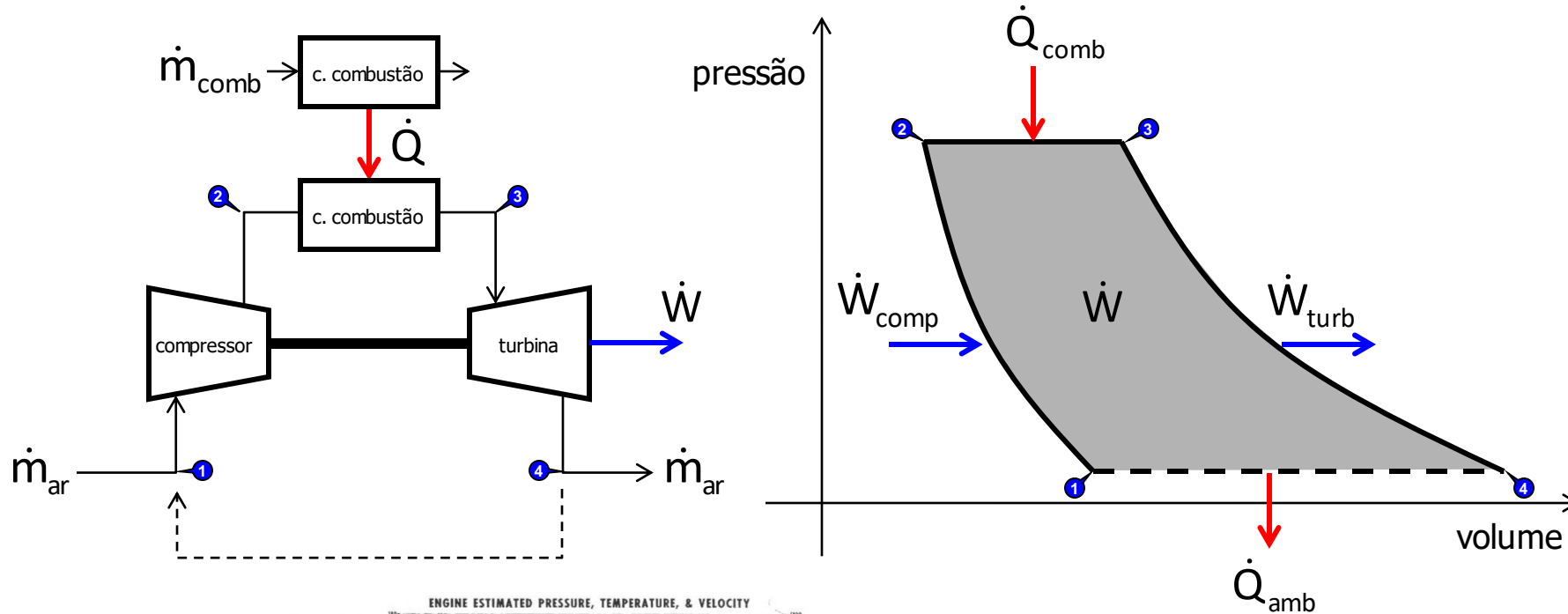
Análise termodinâmica – ciclo de Brayton



Análise termodinâmica

⇒ "PASSO ZERO": Determinação das propriedades de estado

Análise termodinâmica – ciclo de Brayton



estimativas práticas

P2=10bar

T2=?????

P1=1bar

T1=25°C

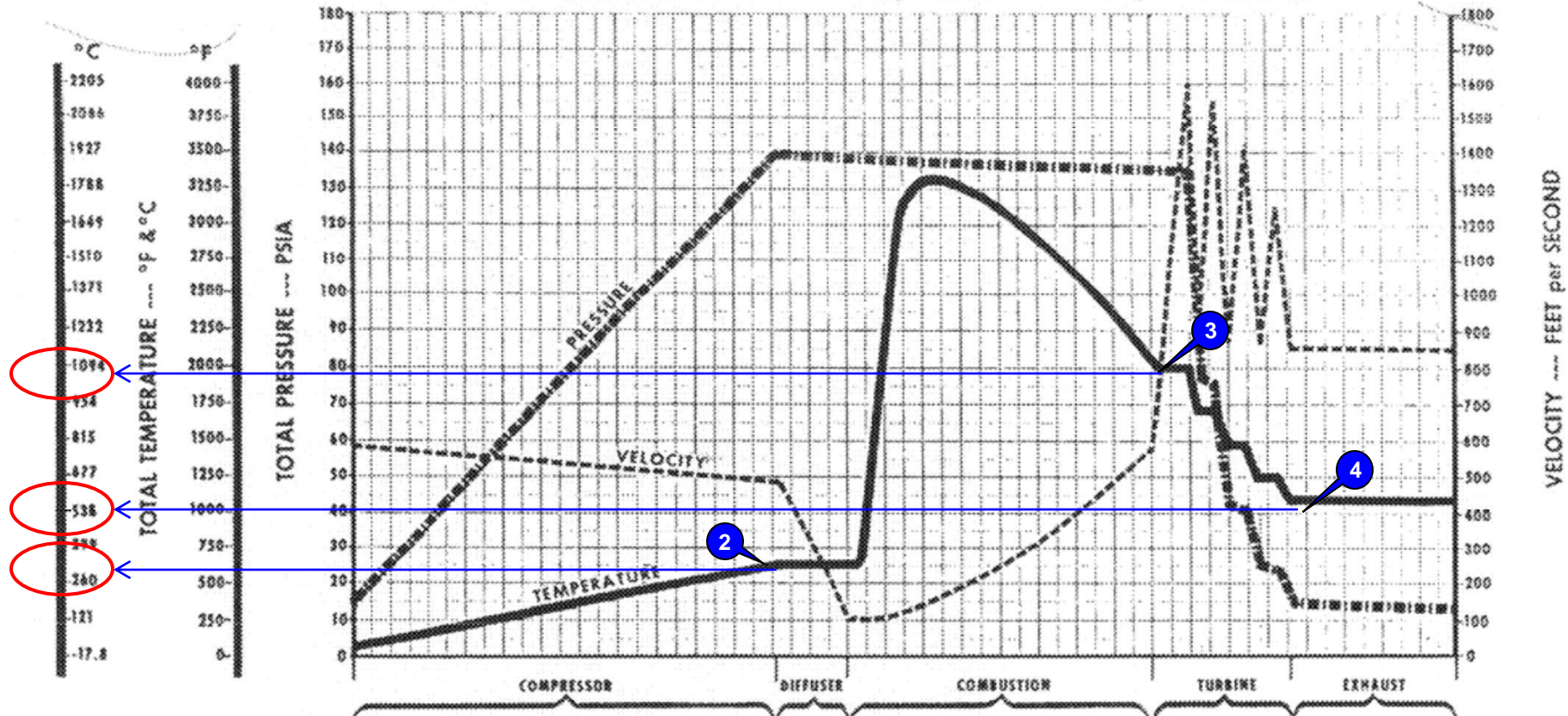
P3=10bar

T3=?????

P4=1bar

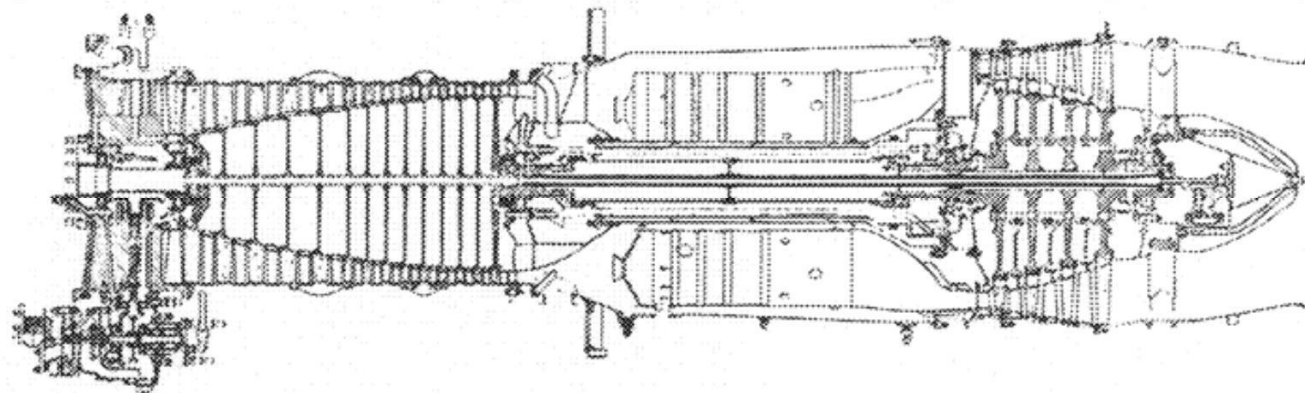
T4=?????

ENGINE ESTIMATED PRESSURE, TEMPERATURE, & VELOCITY

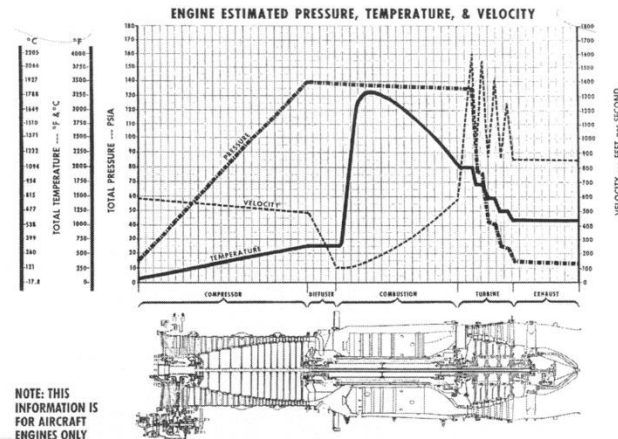
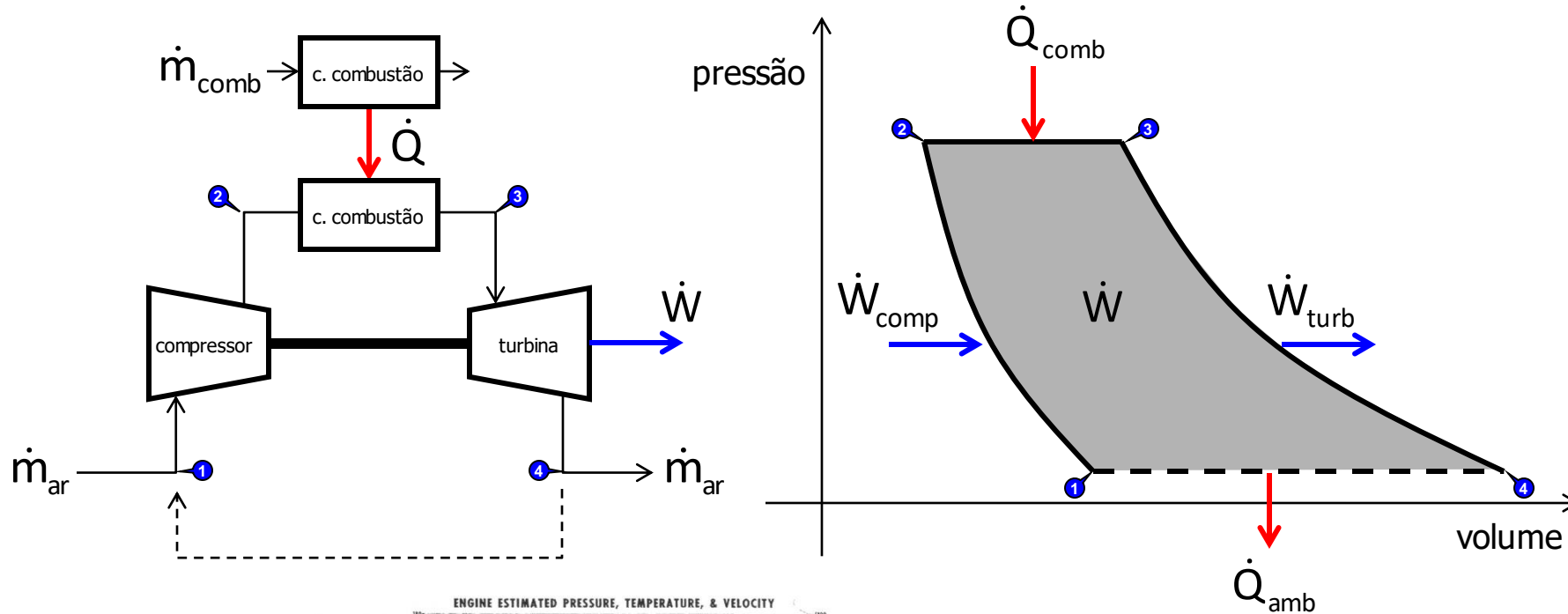


1094
538
280

NOTE: THIS INFORMATION IS FOR AIRCRAFT ENGINES ONLY



Análise termodinâmica – ciclo de Brayton



estimativas práticas

P2=10bar

T2≈290°C

P1=1bar

T1=25°C

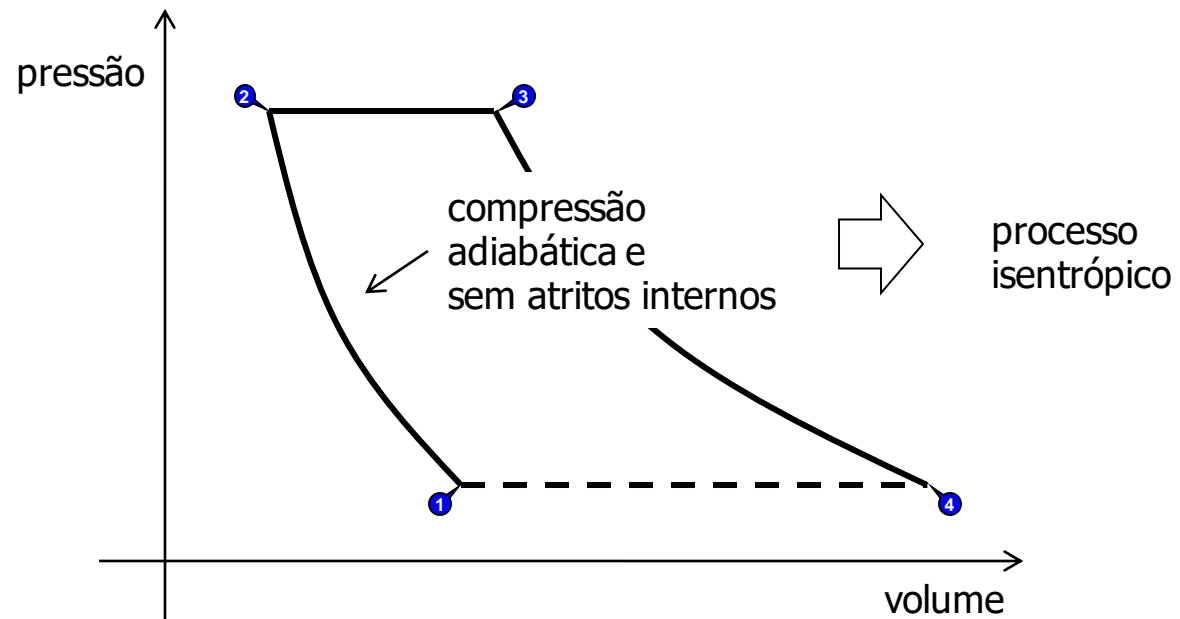
P3=10bar

T3≈1094°C

P4=1bar

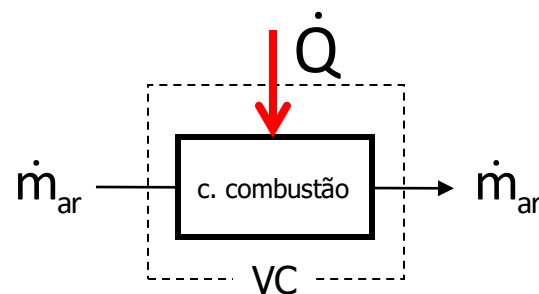
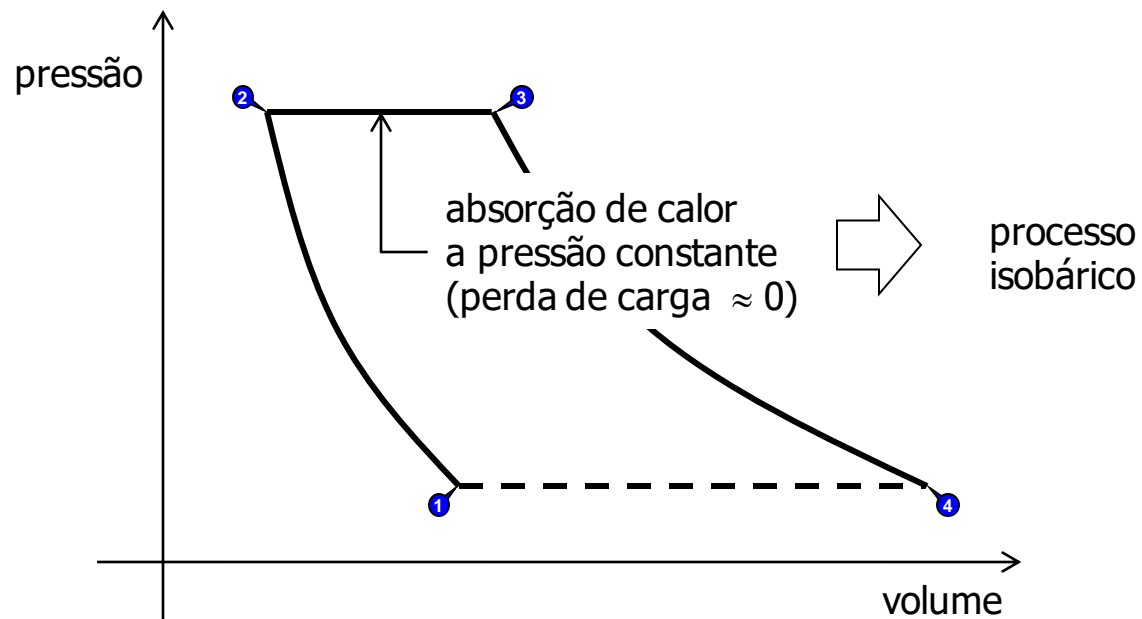
T4≈570°C

Determinação das propriedades em (2)



$P_1 = 1\text{bar}$	$P_2 = 10\text{bar}$	
$T_1 = 25^\circ\text{C}$	$s_2 = s_1 = 3,88\text{kJ/kg/K}$	
$s_1 = 3,88\text{kJ/kg/K}$	$T_2 = 297,8^\circ\text{C}$	\rightarrow estimado: $T_2 \approx 290^\circ\text{C}$
	$h_2 = 703,05\text{kJ/kg}$	

Determinação das propriedades em (3)



$$\dot{Q} - \dot{W} = \sum_{\text{sai}} \dot{m}_k \theta_k - \sum_{\text{entra}} \dot{m}_k \theta_k$$

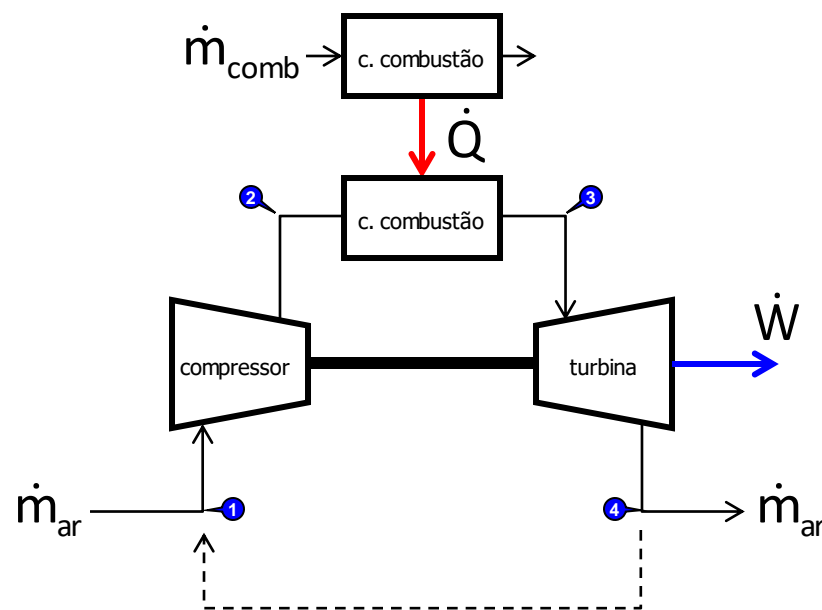
$$\dot{Q} = \dot{m}_{\text{ar}} \cdot \left[\left(h + \cancel{gz} + \cancel{\frac{v^2}{2}} \right)_3 - \left(h + \cancel{gz} + \cancel{\frac{v^2}{2}} \right)_2 \right]$$

$$\dot{Q} = \dot{m}_{\text{ar}} \cdot (h_3 - h_2) \quad \Rightarrow \quad \dot{Q} / \dot{m}_{\text{ar}} = h_3 - h_2$$

Determinação das propriedades em (3)

$$\dot{Q} = \dot{m}_{\text{comb}} \cdot (\eta_{\text{comb}} \text{PCI}_{\text{comb}}) = \dot{m}_{\text{ar}} \cdot (h_3 - h_2)$$

$$h_3 = h_2 + \dot{m}_{\text{comb}} / \dot{m}_{\text{ar}} \cdot \eta_{\text{comb}} \cdot \text{PCI}_{\text{comb}}$$

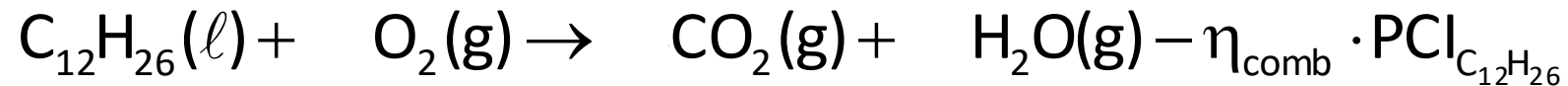


Determinação das propriedades em (3)

$$\dot{Q} = \dot{m}_{\text{comb}} \cdot (\eta_{\text{comb}} \text{PCI}_{\text{comb}}) = \dot{m}_{\text{ar}} \cdot (h_3 - h_2)$$

$$h_3 = h_2 + \dot{m}_{\text{comb}} / \dot{m}_{\text{ar}} \cdot \eta_{\text{comb}} \cdot \text{PCI}_{\text{comb}}$$

Equação estequiométrica de combustão

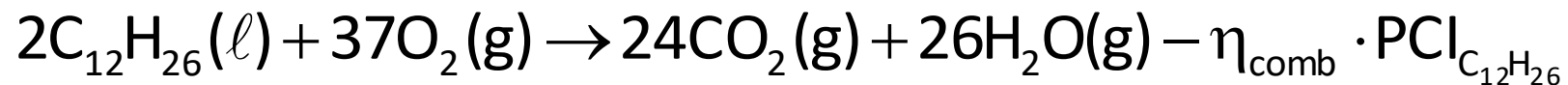


Determinação das propriedades em (3)

$$\dot{Q} = \dot{m}_{\text{comb}} \cdot (\eta_{\text{comb}} \text{PCI}_{\text{comb}}) = \dot{m}_{\text{ar}} \cdot (h_3 - h_2)$$

$$h_3 = h_2 + \dot{m}_{\text{comb}} / \dot{m}_{\text{ar}} \cdot \eta_{\text{comb}} \cdot \text{PCI}_{\text{comb}}$$

Equação estequiométrica de combustão

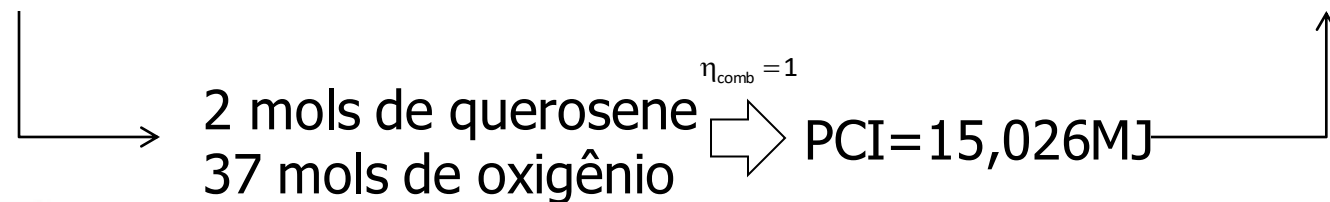
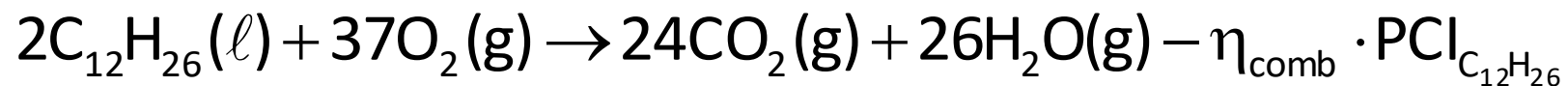


Determinação das propriedades em (3)

$$\dot{Q} = \dot{m}_{\text{comb}} \cdot (\eta_{\text{comb}} \text{PCI}_{\text{comb}}) = \dot{m}_{\text{ar}} \cdot (h_3 - h_2)$$

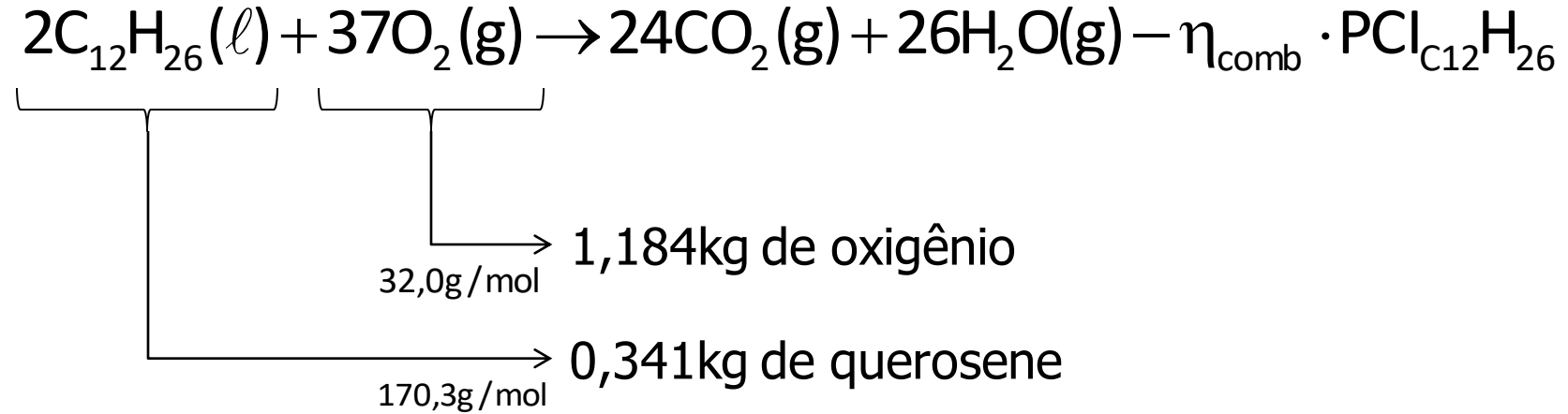
$$h_3 = h_2 + \dot{m}_{\text{comb}} / \dot{m}_{\text{ar}} \cdot \eta_{\text{comb}} \cdot \text{PCI}_{\text{comb}}$$

Equação estequiométrica de combustão



$$M_{\text{C}_{12}\text{H}_{26}} = 170,3\text{g/mol} \Rightarrow \text{PCI} = \frac{15,026\text{MJ}}{2 \cdot 170,3 \cdot 10^{-3}\text{kg}} = 44,19\text{MJ/kg}$$

Determinação das propriedades em (3)



Cálculo da massa de ar para combustão estequiométrica

Major constituents of dry air, by volume^[6]

Gas		Volume ^(A)	
Name	Formula	in ppmv ^(B)	in %
Nitrogen	N ₂	780,840	78.084
Oxygen	O ₂	209,460	20.946
Argon	Ar	9,340	0.9340
Carbon dioxide	CO ₂	397	0.0397
Neon	Ne	18.18	0.001818
Helium	He	5.24	0.000524
Methane	CH ₄	1.79	0.000179
Not included in above dry atmosphere:			
Water vapor ^(C)	H ₂ O	10–50,000 ^(D)	0.001%–5% ^(D)

notes:
 (A) volume fraction is equal to mole fraction for ideal gas only, also see volume (thermodynamics)
 (B) ppmv: parts per million by volume
 (C) Water vapor is about 0.25% by mass over full atmosphere
 (D) Water vapor strongly varies locally^[4]

$$0,78084 \cdot N_2 + 0,20946 \cdot O_2 + 0,00934 \cdot Ar = 1 \text{ mol}$$

$\xrightarrow{28g/mol}$ 21,86g
 $\xrightarrow{32g/mol}$ 6,70g
 $\xrightarrow{40g/mol}$ 0,37g

\downarrow
 0,7555kg + 0,2316kg + 0,0129kg = 1kg

Determinação das propriedades em (3)

Cálculo da massa de ar que contém 1,181kg de oxigênio

$$\begin{array}{l} 1 \text{ kg de ar} \longrightarrow 0,232\text{kg de oxigênio} \\ x \text{ kg de ar} \longrightarrow 1,184\text{kg de oxigênio} \end{array} \Rightarrow 5,112\text{kg de ar}$$

Cálculo da razão ar/combustível

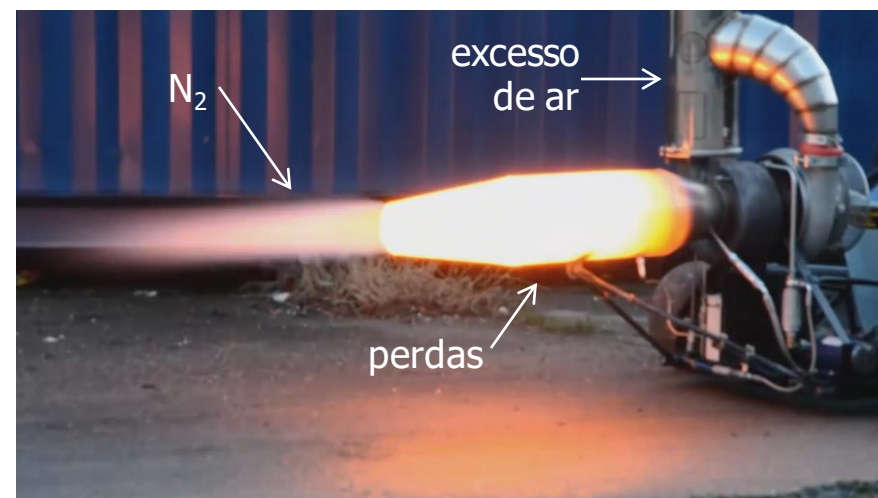
$$\frac{\dot{m}_{\text{comb}}}{\dot{m}_{\text{ar}}} = \frac{0,341\text{kg}}{5,112\text{kg}} = 0,066705$$

Rendimento da combustão

$$\eta_{\text{comb}} = \text{PCI} / \dot{Q}_{\text{útil}}$$

$$\eta_{\text{comb}}^{\text{arb}} = 0,333$$

A ser elaborado em
uma aula
específica...



Determinação das propriedades em (3)

Cálculo do salto entálpico

$$h_3 - h_2 = \dot{m}_{\text{comb}} / \dot{m}_{\text{ar}} \cdot \eta_{\text{comb}} \cdot \text{PCI}_{\text{comb}}$$

$$h_3 - 703,05 \text{ kJ/kg} = 0,066705 \cdot 0,333 \cdot 44,19 \cdot 10^3 \text{ kJ/kg}$$

$$h_3 = 1684,644 \text{ kJ/kg}$$

P3= 10bar

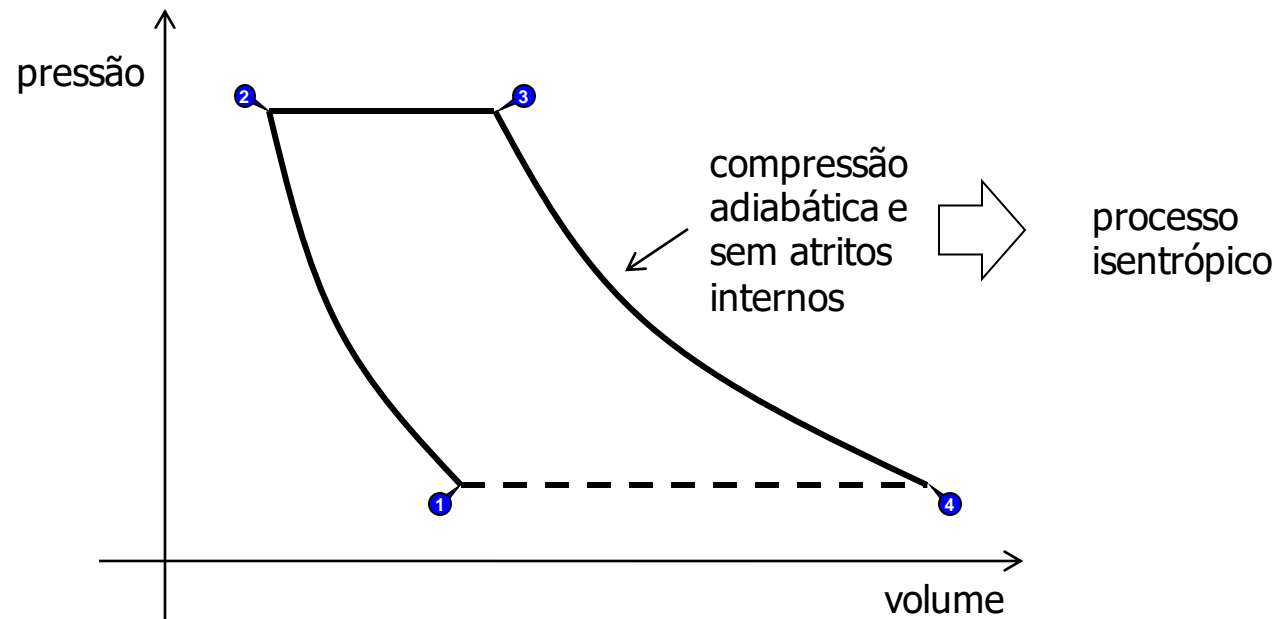
h3= 1684,644kJ/kg



T3= 1161,6°C → **estimado: T3≈1094°C**

s3= 4,9208kJ/kg/K

Determinação das propriedades em (4)



$P_3 = 10\text{bar}$

$h_3 = 1684,644\text{kJ/kg}$



$T_3 = 1161,6^\circ\text{C}$

$s_3 = 4,9208\text{kJ/kg/K}$

$P_4 = 1\text{bar}$

$s_4 = 4,9208\text{kJ/kg/K}$



$T_4 = 535,9^\circ\text{C}$

$h_4 = 958,6\text{kJ/kg}$

estimado: $T_3 \approx 570^\circ\text{C}$

Análise do Boeing 747



General Electric CF6



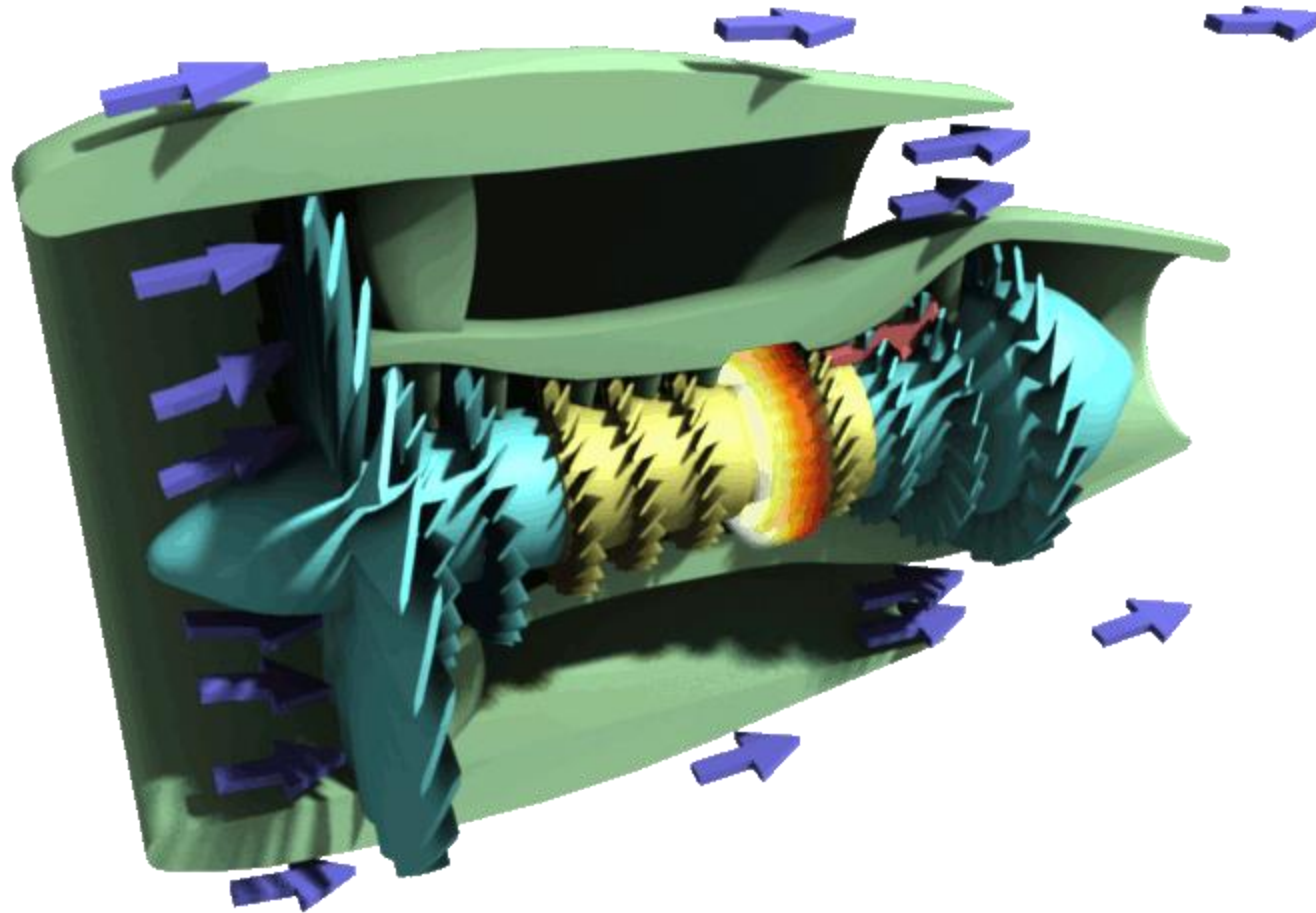
Pratt & Whitney JT9D



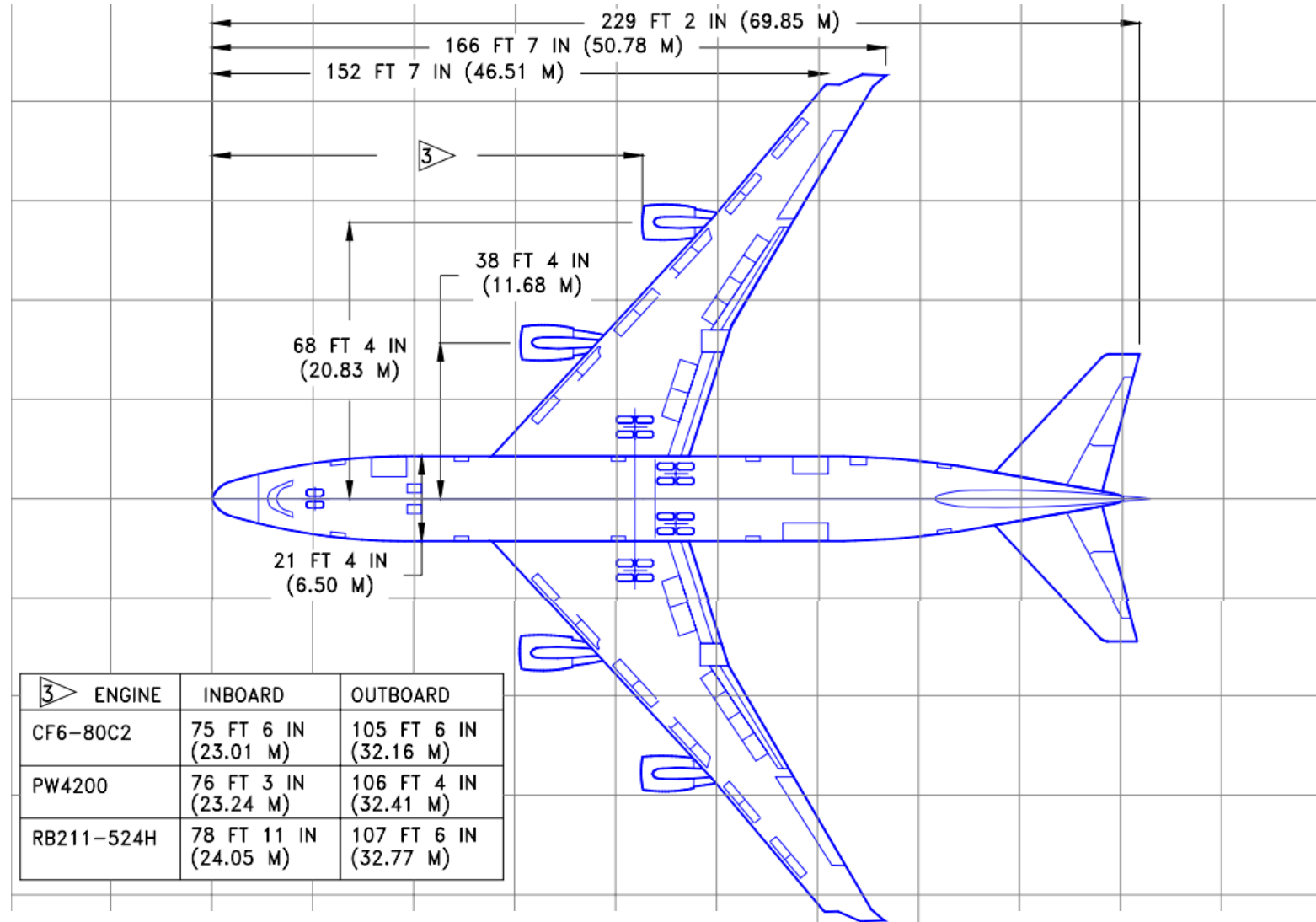
Rolls-Royce RB211



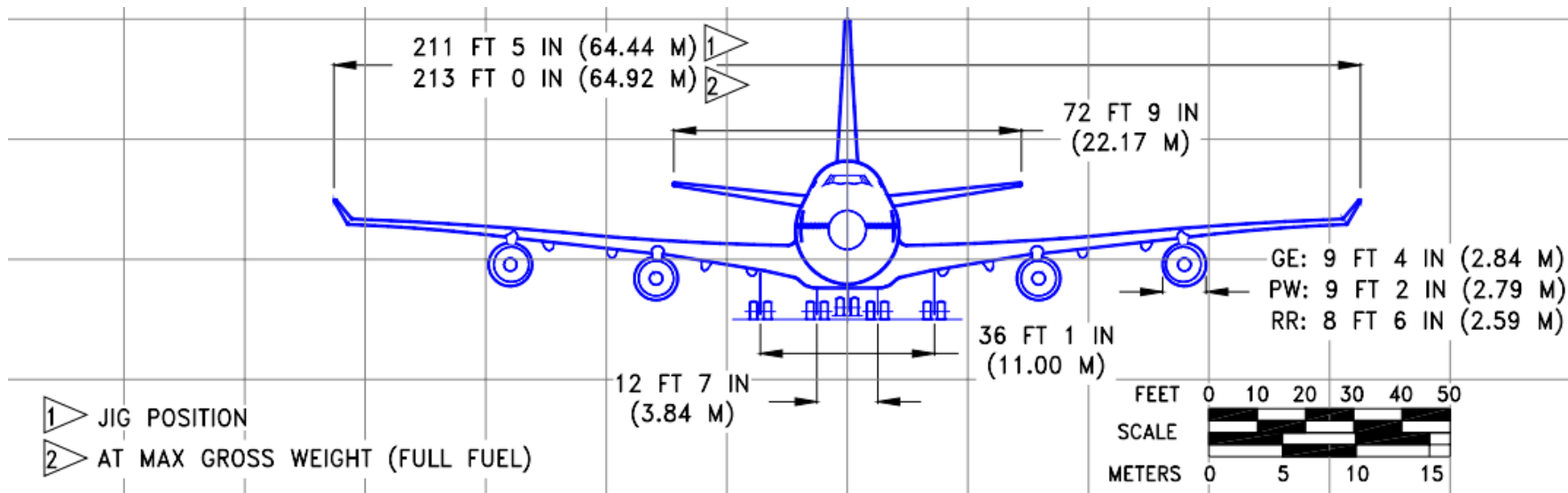
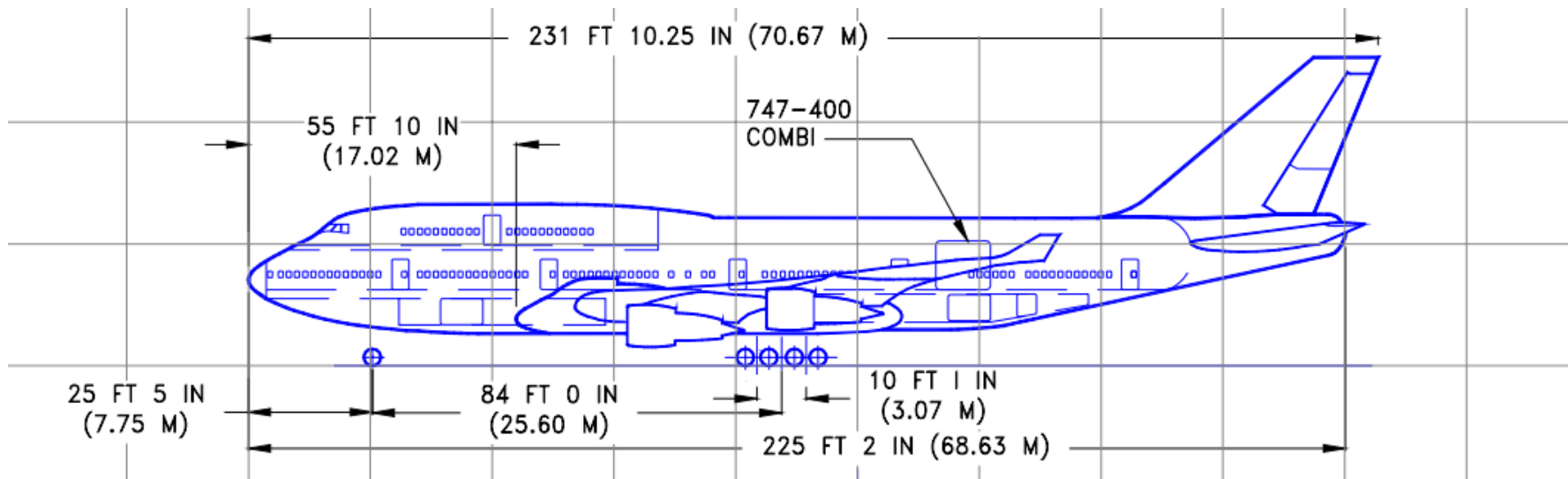
Motores tipo turbofan



Análise do Boeing 747

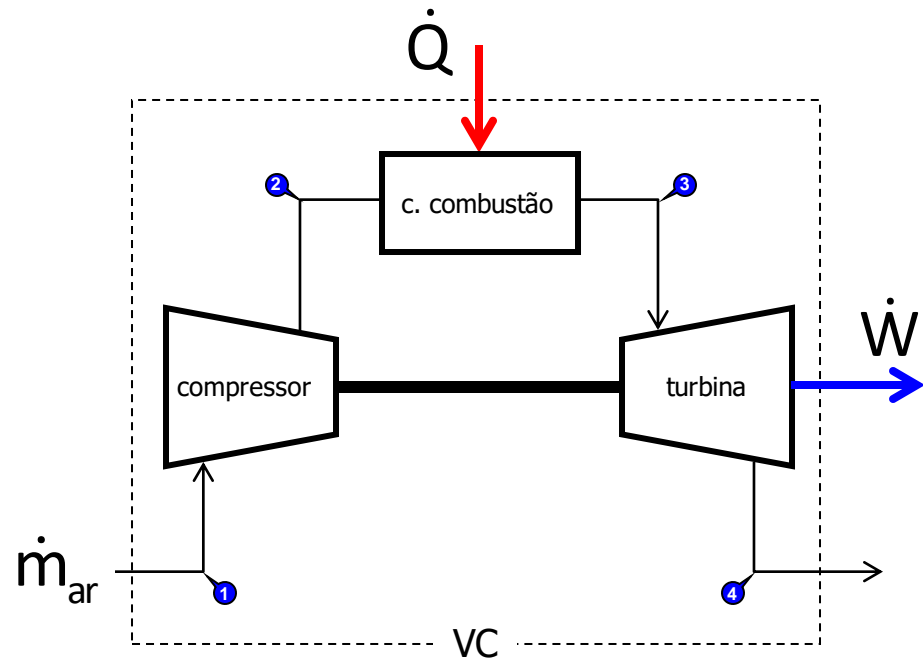


Análise do Boeing 747



Análise do Boeing 747

Measurement	747-100B	747-200B	747-300	747-400 747-400ER	747-8I
Maximum cargo capacity	6,190 ft ³ (175.3 m ³) = 30xLD1			6,025 ft ³ (170.5 m ³) ER: 5,599 ft ³ (158.6 m ³)	5,705 ft ³ (161.5 m ³)
Operating empty weight	358,000 lb (162,400 kg)	383,000 lb (174,000 kg)	392,800 lb (178,100 kg)	393,263 lb (178,756 kg) ER: 406,900 lb (184,600 kg)	472,900 lb (214,503 kg)
Maximum takeoff weight	735,000 lb (333,390 kg)	833,000 lb (377,842 kg)		875,000 lb (396,890 kg) ER: 910,000 lb (412,775 kg)	987,000 lb (447,696 kg)
Cruising speed (at 35,000 ft (11,000 m) altitude)	Mach 0.84 (555 mph, 893 km/h, 481 knots)			Mach 0.85 (567 mph, 913 km/h, 493 kn) ER: Mach 0.855 (570 mph, 918 km/h, 495 kn)	Mach 0.855 (570 mph, 918 km/h, 495 kn)
Maximum speed	Mach 0.89 (594 mph, 955 km/h, 516 kn)			Mach 0.92 (614 mph, 988 km/h, 533 kn)	
Maximum fuel capacity	48,445 U.S. gal (40,339 imp gal/183,380 L)	52,410 U.S. gal (43,640 imp gal/199,158 L)		57,285 U.S. gal (47,700 imp gal/216,840 L) ER: 63,705 U.S. gal (53,045 imp gal/241,140 L)	64,225 U.S. gal (53,478 imp gal/243,120 L)
Engine models (x 4)	PW JT9D-7A/-7F/-7J RR RB211-524B2 GE CF6-45A2 (747SR)	PW JT9D-7R4G2 GE CF6-50E2 RR RB211-524D4	PW JT9D-7R4G2 GE CF6-80C2B1 RR RB211-524D4	PW 4062 GE CF6-80C2B5F RR RB211-524G/H ER: GE CF6-80C2B5F	GEEnx-2B67
Engine thrust (per engine) estático	PW 46,500 lbf (207 kN) RR 50,100 lbf (223 kN)	PW 54,750 lbf (244 kN) GE 52,500 lbf (234 kN) RR 53,000 lbf (236 kN)	PW 54,750 lbf (244 kN) GE 55,640 lbf (247 kN) RR 53,000 lbf (236 kN)	PW 63,300 lbf (282 kN) GE 62,100 lbf (276 kN) RR 59,500/60,600 lbf (265/270 kN) ER: GE 62,100 lbf (276 kN)	66,500 lbf (296 kN)



Consumo de um motor: 0,8kg/s de querosene

$$\dot{Q} = \dot{m}_{\text{comb}} \cdot (\eta_{\text{comb}} \text{PCI}_{\text{comb}})$$

$$\dot{Q} = 0,8 \text{kg/s} \cdot (0,333 \cdot 44,19 \text{MJ/kg})$$

$$\dot{Q} = 11,7722 \text{MW}$$

Inventário de energia no volume de controle

$$\dot{Q} - \dot{W} = \dot{m}_{\text{ar}} \cdot \left[\left(h + gz + \frac{v^2}{2} \right)_s - \left(h + gz + \frac{v^2}{2} \right)_e \right]$$

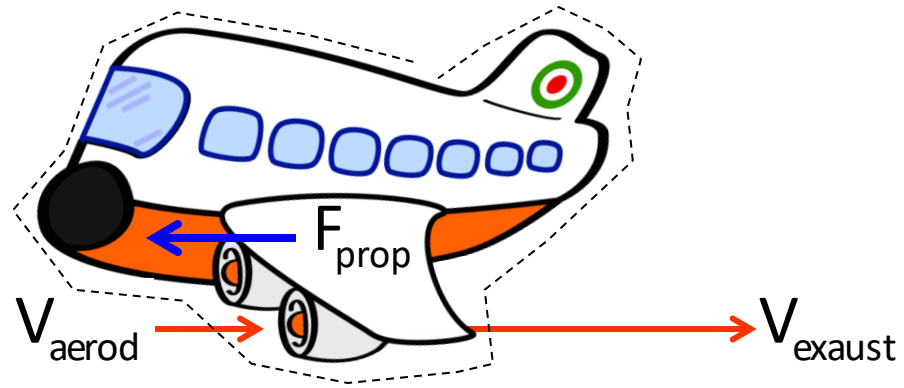
$$\dot{Q} - \dot{W} = \dot{m}_{\text{ar}} \cdot (h_4 - h_1) \quad m_{\text{C}_{12}\text{H}_{26}} = 0,066705 \cdot m_{\text{ar}}$$

$$11,7722 \text{MW} - \dot{W} = \frac{0,8 \text{kg/s}}{0,066705} \cdot (958,6 - 424,5) \cdot 10^{-3} \text{MJ/kg}$$

$$\dot{W} = 5,367 \text{MW}$$

$$\eta = \dot{W} / \dot{Q}$$

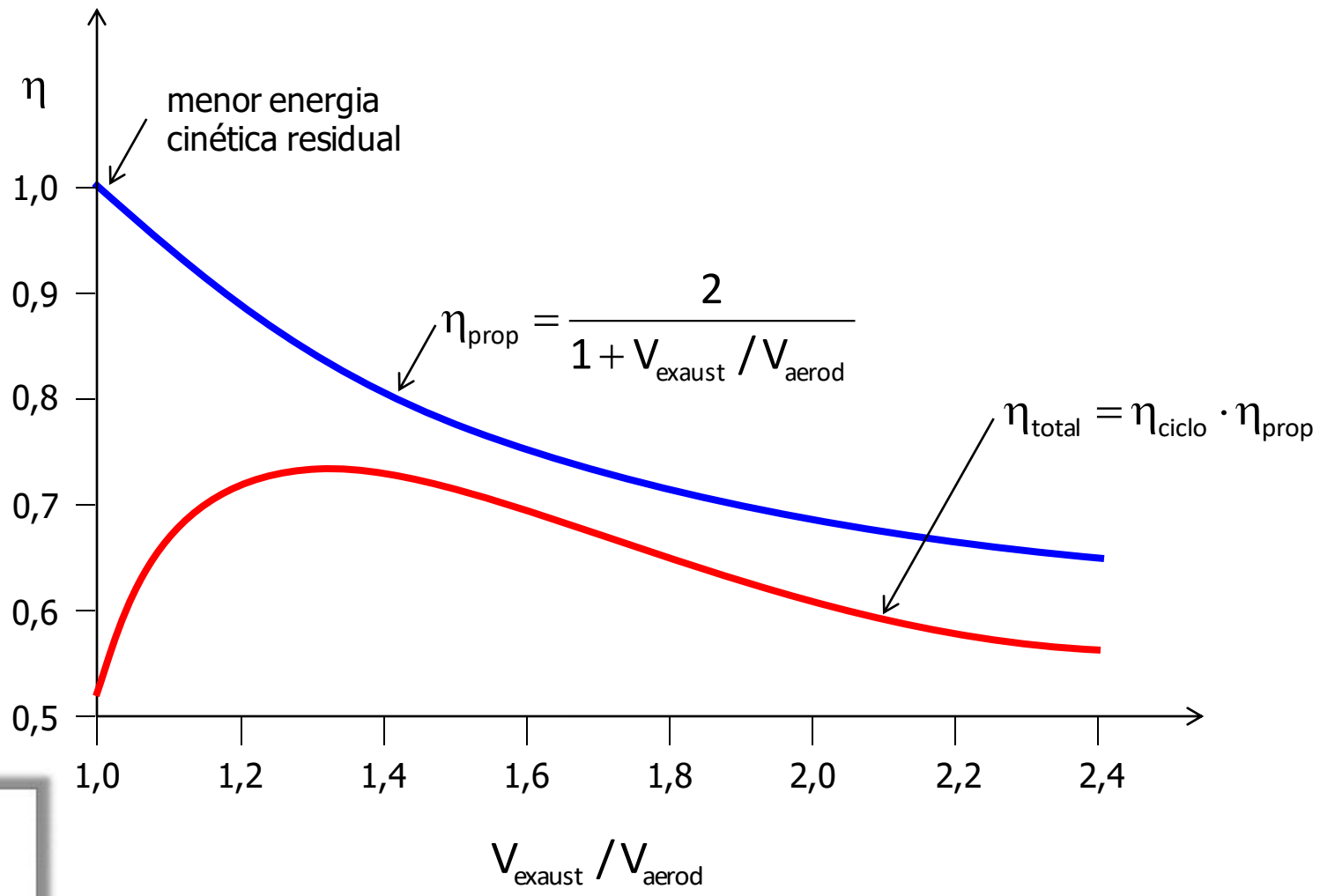
$$\eta = 45,6\%$$

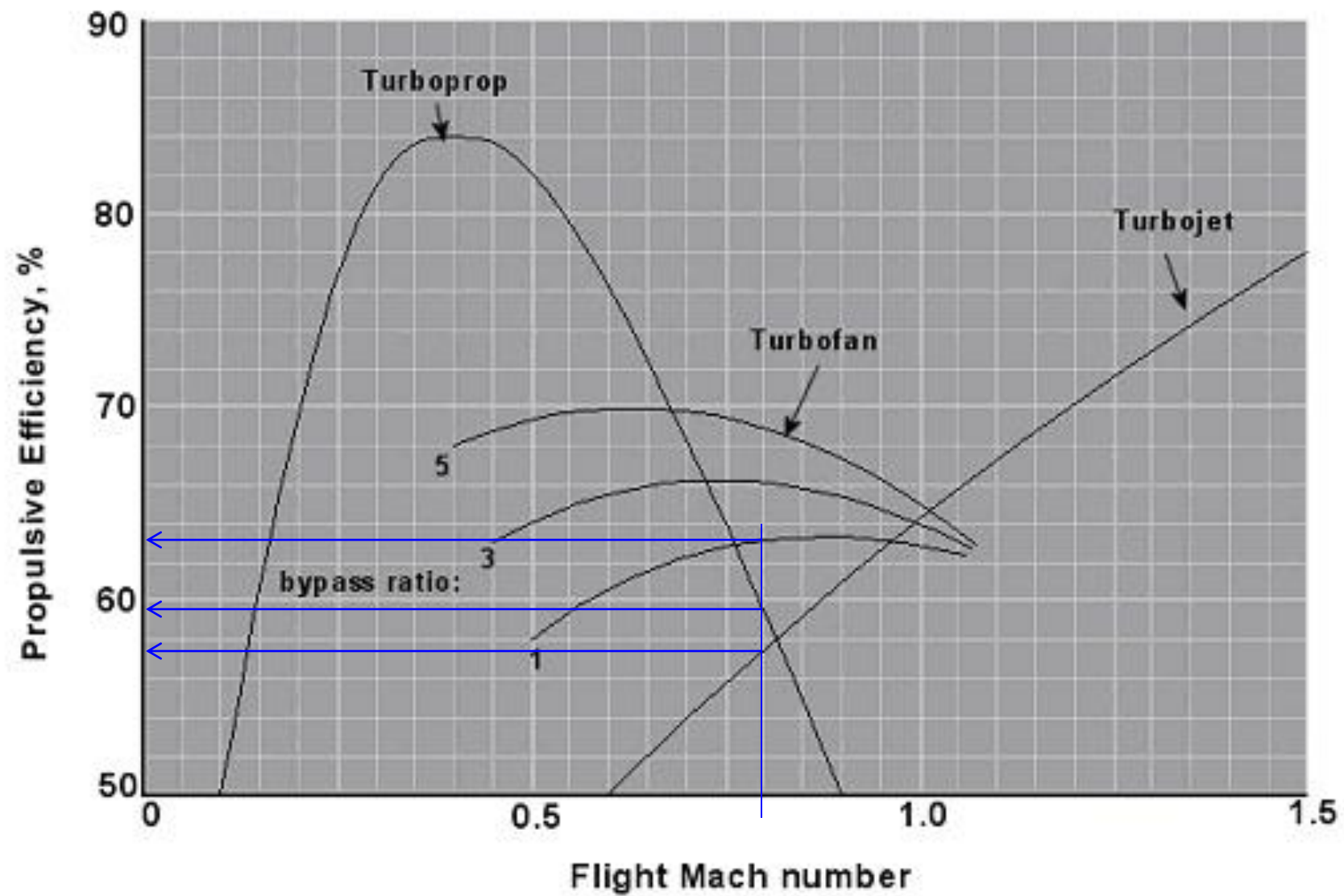


$$\eta_{\text{prop}} = \frac{F_{\text{prop}} \cdot V_{\text{aerod}}}{\frac{\dot{m}_{\text{exhaust}} V_{\text{exhaust}}^2}{2} - \frac{\dot{m}_{\text{aspirac}} V_{\text{aerod}}^2}{2}}$$

$$F_{\text{prop}} \cong \dot{m}_{\text{ar}} (V_{\text{exhaust}} - V_{\text{aerod}}) \quad \dot{m}_{\text{aspirac}} \cong \dot{m}_{\text{ar}} \cong \dot{m}_{\text{exhaust}}$$

$$\eta_{\text{prop}} = \frac{2}{1 + \frac{V_{\text{exhaust}}}{V_{\text{aerod}}}}$$





Balanco de Energia em VC regime transiente....

Lançamento do Saturno V / Apollo



Search

Upload



- Home
- My Channel
- Trending
- Subscriptions 1
- History
- Watch Later

LIBRARY

- Curso de Energias Re...
- Trocadores de Calor - ...
- Curso de Modelagem ...
- Show more

SUBSCRIPTIONS

- Khan Academy 23
- QueenVEVO 19
- Os Pingos nos Is... 11
- Roda Viva 11
- Aerosmith - Topic 7
- Sesame Street 6
- Stanford Precour... 5
- StarTalk Radio 5
- DIE ANTWOORD ... 4
- Matando Robôs ... 4
- The Allman Brot... 3
- World Science Fe... 3

2,992 subscribers 279,004 views Video Manager



Paulo Seleglim

View as: Yourself



Subscribe 2,992

- Home
- Videos
- Playlists
- Channels
- Discussion
- About

For returning subscribers For new visitors

What to watch next

OPERAÇÃO OTIMIZADA DE USINAS HIDRELÉTRICAS

Curvas de rendimento operacional ótimo

2:19:58

Centrais de Geração Eólica e Hidrelétrica
 by Paulo Seleglim 117 views
 Streamed 2 weeks ago

Carros Híbridos: Eficiência Energética no Setor de Transportes
 by Paulo Seleglim
 199 views Streamed 2 weeks ago
 1:10:05

T4 EXERGIA QUÍMICA 2/3
 by Paulo Seleglim
 108 views Streamed 3 weeks ago
 2:49:30

T4 ANÁLISE EXERGÉTICA: Trabalho Mínimo em Processos de Separação 2/3
 by Paulo Seleglim
 150 views Streamed 1 month ago
 2:18:10

Channel tips

- Filming on your phone
- Improving Content ID

View all »

None

+ Add channels

Related channels

Me Salva!
 Subscribe